
Espalhamento Compton e a Física da Radiação Cósmica de Fundo

Guilherme de Souza Fernandes

Sumário

Espalhamento Compton

- Introdução e motivação
- QED: regras de Feynman e diagramas de nível árvore
- Cálculo da seção de choque
- Limite de baixas energias

Radiação cósmica de fundo

- Introdução à cosmologia fiducial
- História térmica do universo e a recombinação
- Efeitos do espalhamento Compton na CMB

Referências

Introdução e motivação

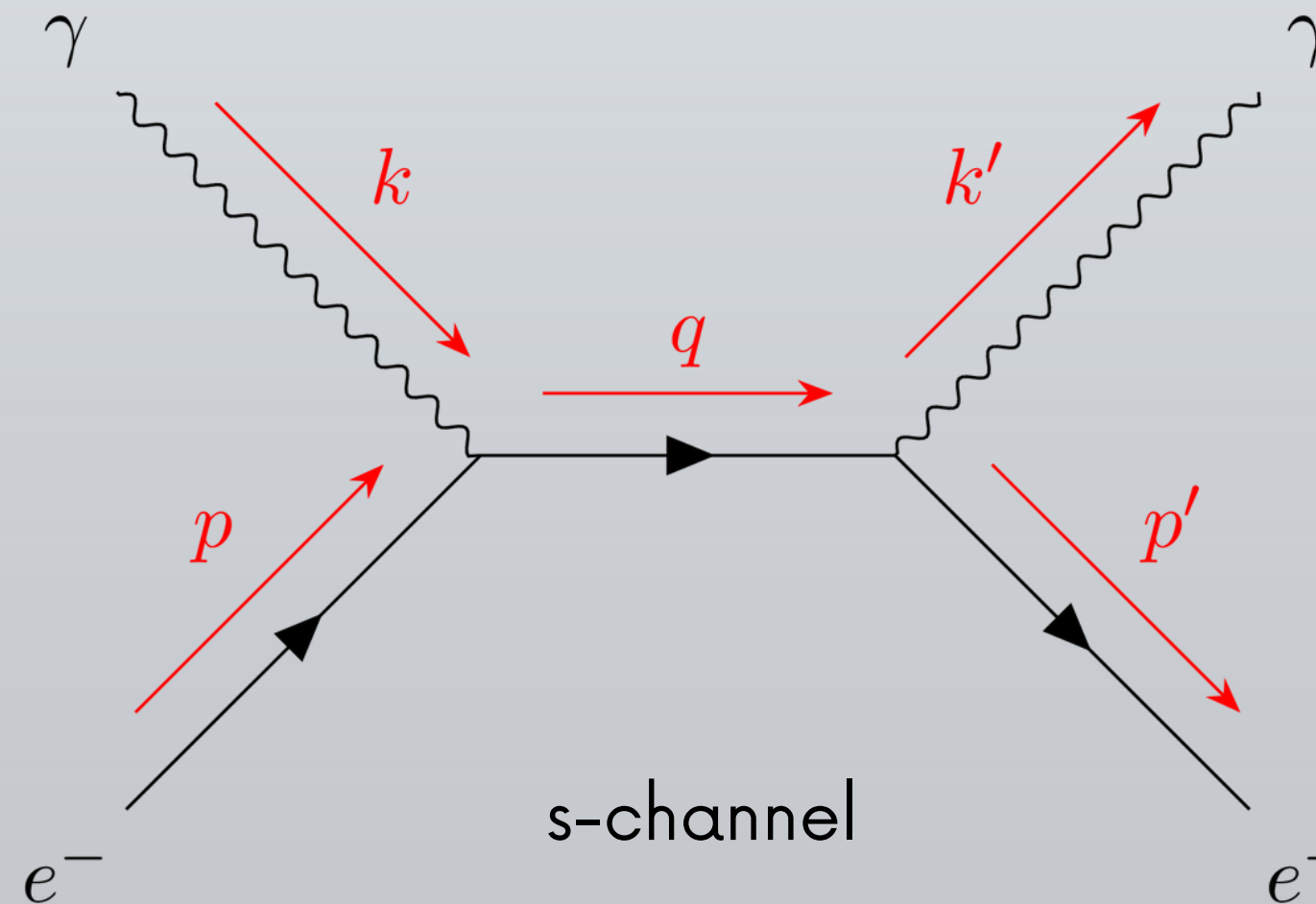
O espalhamento Compton, apesar de ser um dos processos mais simples da QED (Quantum Electrodynamics), apresenta uma rica fenomenologia. O principal objetivo desse seminário é mostrar o processo de cálculo da seção de choque desse espalhamento utilizando ferramentas da Teoria Quântica de Campos. Vamos explorar as consequências físicas dessa derivação na menor ordem possível da teoria de perturbação e ao final mostrar aplicações na cosmologia.

$$e^- + \gamma \rightarrow e^- + \gamma$$

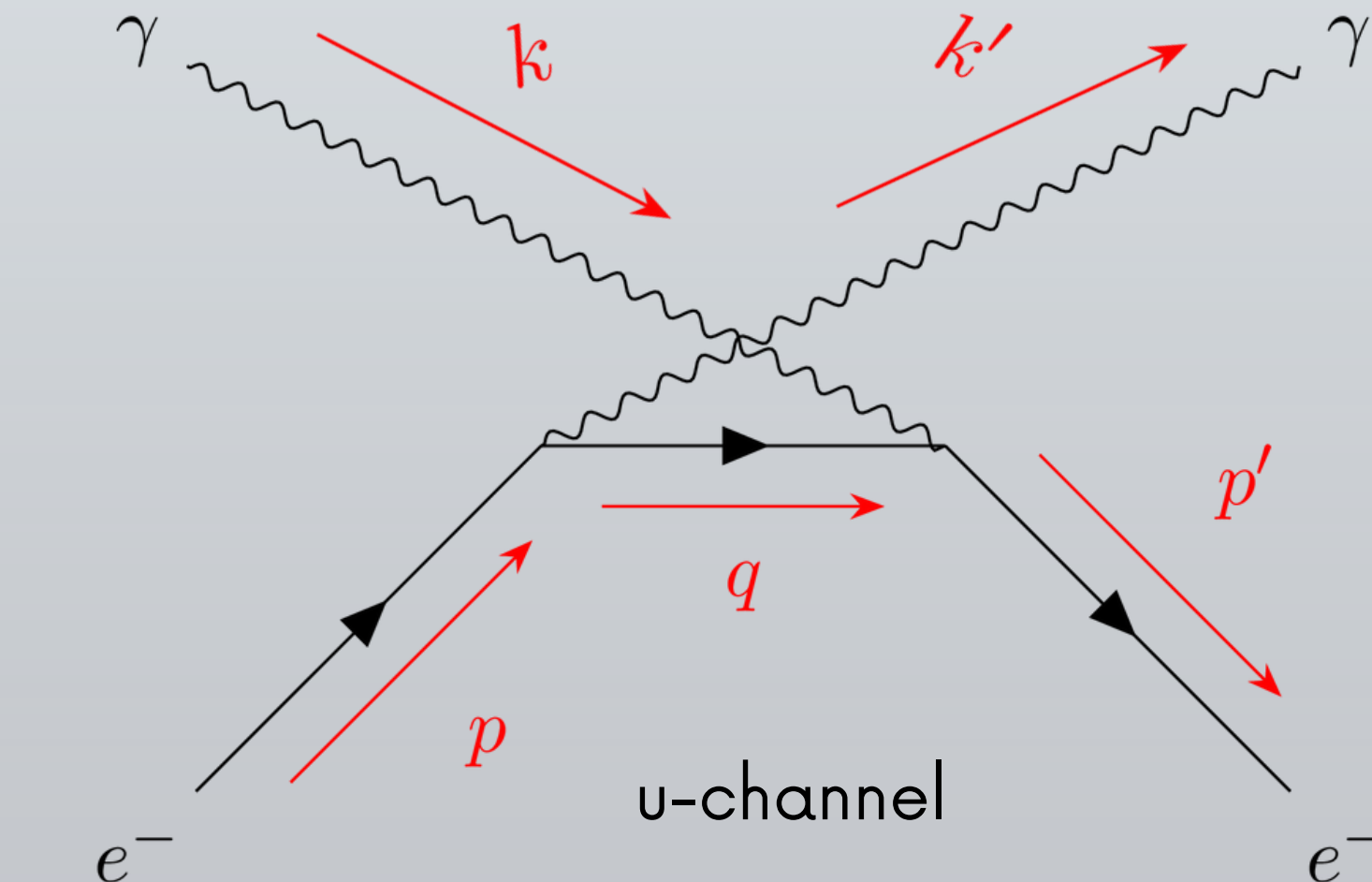


QED: regras de Feynman e diagramas de nível árvore

Em nível árvores, os digramas de Feynman relevantes são:



$$q = p + k = k' + p'$$



$$q = p - k' = p' - k$$



QED: regras de Feynman

$$\mathcal{L}_{\text{QED}} = \bar{\psi}(i\gamma^\mu D_\mu - m_e)\psi - \frac{1}{4}F_{\mu\nu}F^{\mu\nu}$$



$$= u^s(p)$$



$$= \bar{u}^s(p)$$



$$= \bar{v}^s(p)$$



$$= v^s(p)$$



$$= \frac{-ig_{\mu\nu}}{p^2 + i\varepsilon} \quad (\text{Feynman gauge})$$



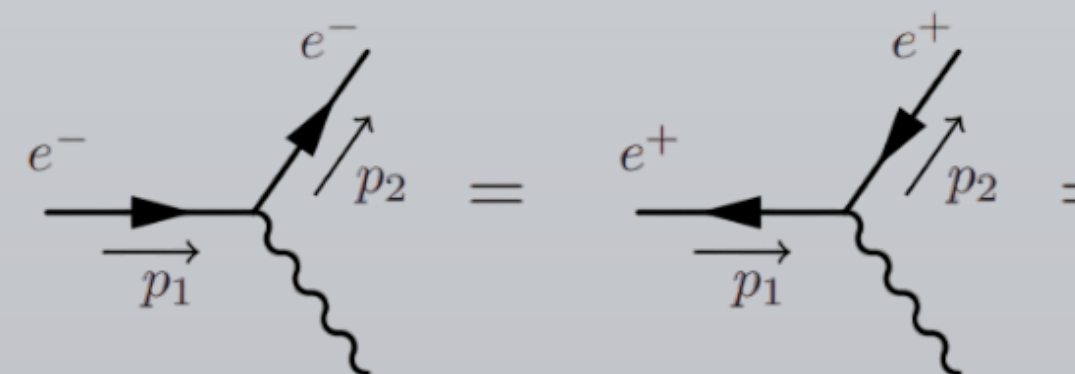
$$= \frac{i(\not{p} + m)}{p^2 - m^2 + i\varepsilon}$$

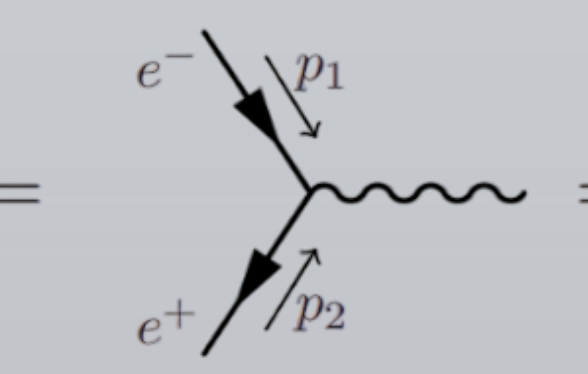


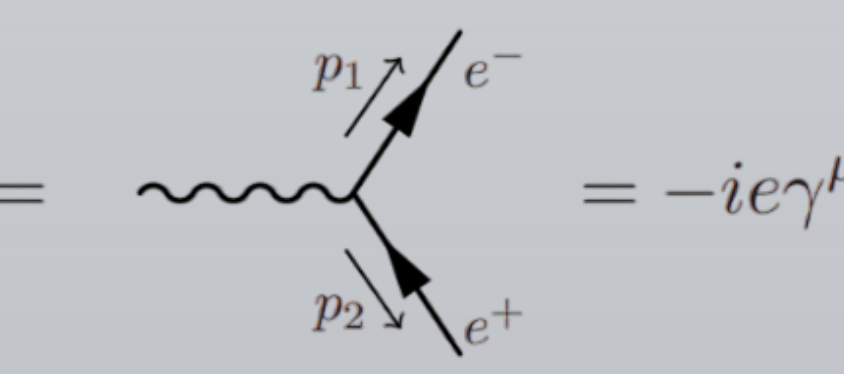
$$= \epsilon_\mu(p) \quad (\text{incoming})$$



$$= \epsilon_\mu^\star(p) \quad (\text{outgoing})$$



$$=$$


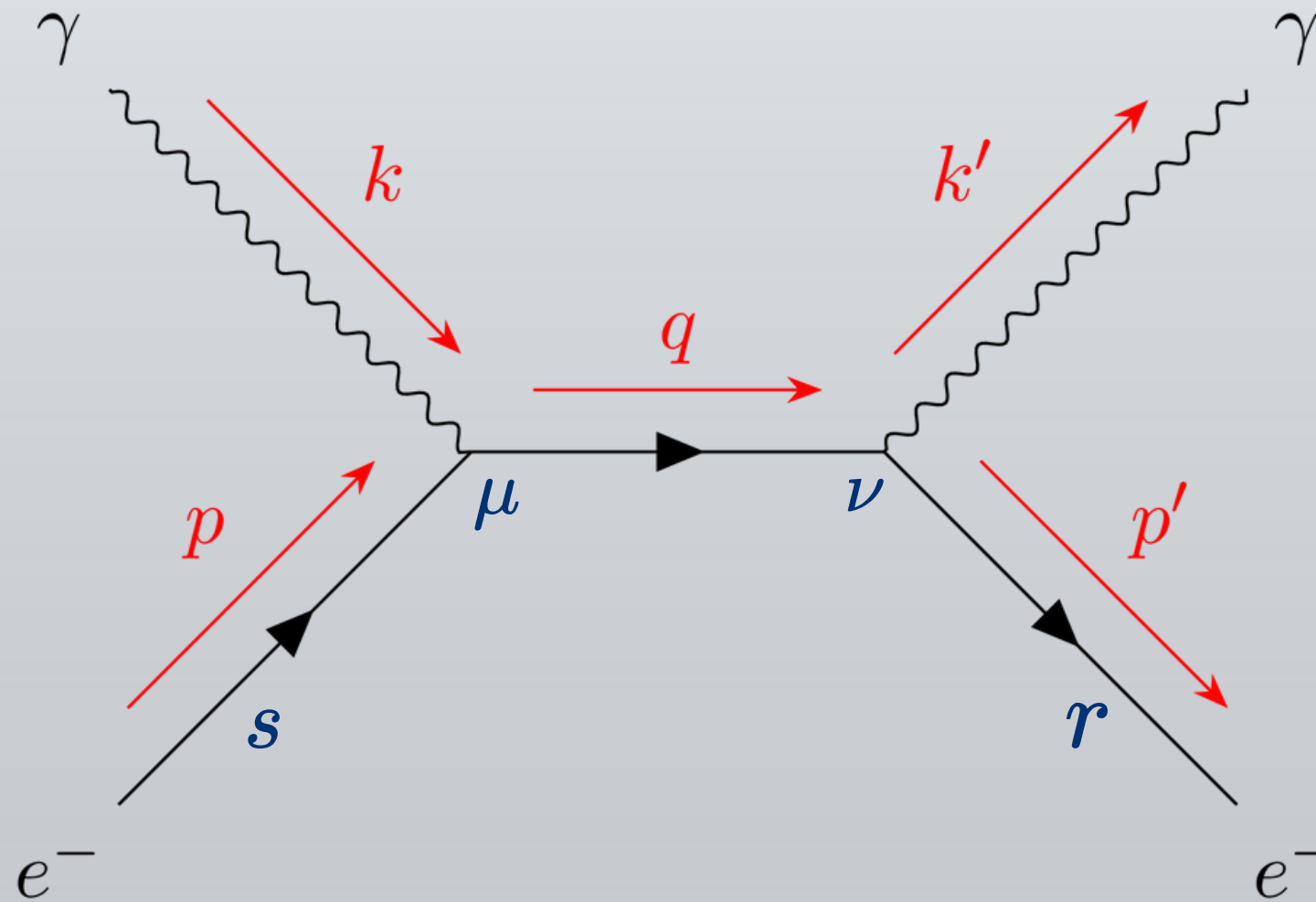
$$=$$


$$= -ie\gamma^\mu$$



Cálculo do elemento da matriz S

Convencionamos os índices para o spin dos elétrons e para a polarização dos fótons (incidentes e espalhados):

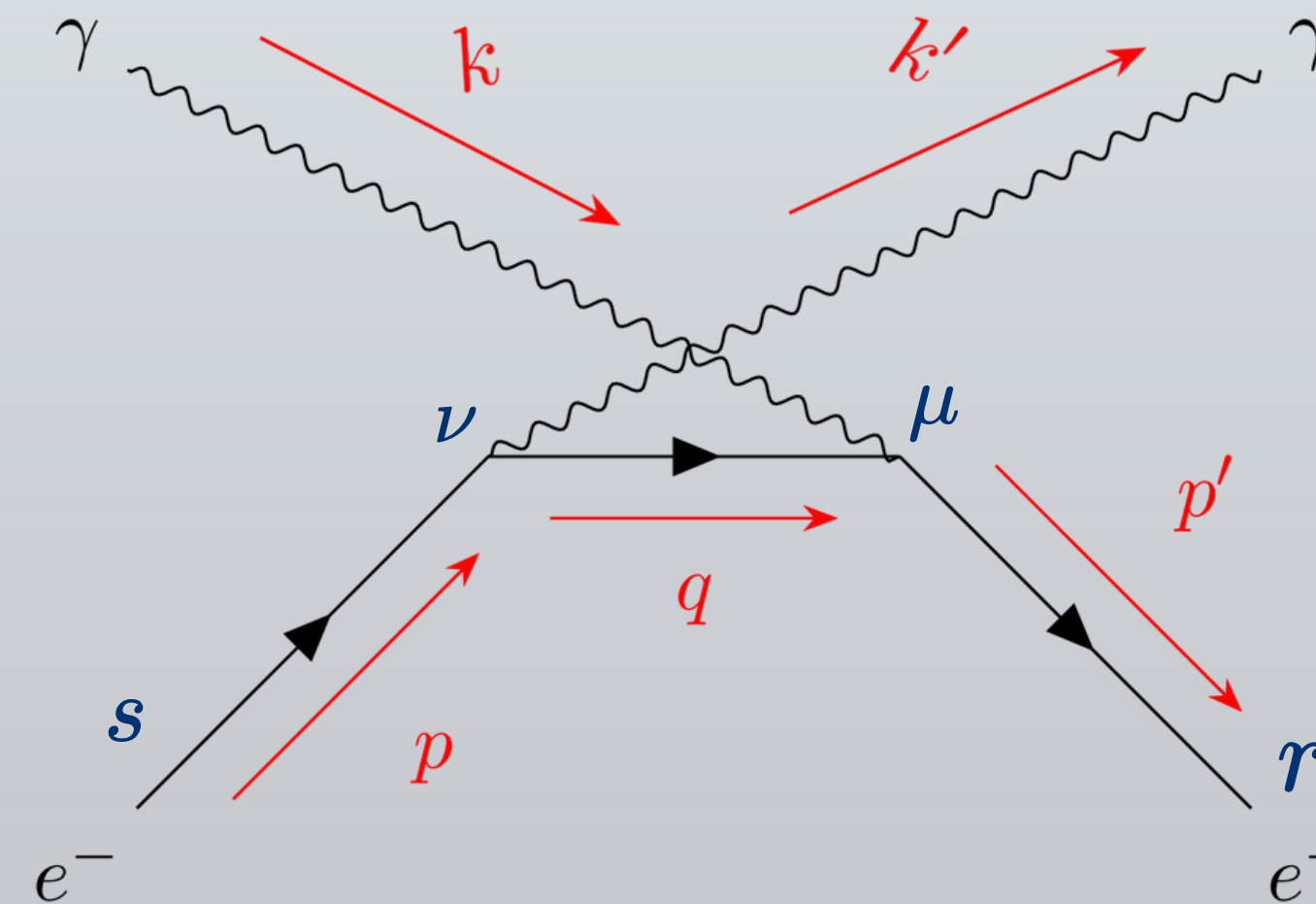


$$i\mathcal{M}_s = \bar{u}^r(p')(-ie\gamma^\nu)\epsilon_\nu^*(k') \frac{i(\not{p} + \not{k} + m)}{(p+k)^2 - m^2} (-ie\gamma^\mu)\epsilon_\mu(k)u^s(p)$$



Cálculo do elemento da matriz S

Convencionamos os índices para o spin dos elétrons e para a polarização dos fótons (incidentes e espalhados):



$$i\mathcal{M}_u = \bar{u}^r(p')(-ie\gamma^\mu)\epsilon_\mu(k)\frac{i(\not{p} - \not{k}' + m)}{(p - k')^2 - m^2}(-ie\gamma^\nu)\epsilon_\nu^*(k')u^s(p)$$



Cálculo do elemento da matriz S

Antes de prosseguir para o cálculo de $|\mathcal{M}|^2$ podemos fazer algumas simplificações:

$$\begin{aligned} i\mathcal{M} &= -ie^2 \bar{u}^r(p') \left[\gamma^\nu \epsilon_\nu^*(k') \frac{(\not{p} + \not{k} + m)}{(p+k)^2 - m^2} \gamma^\mu \epsilon_\mu(k) + \gamma^\mu \epsilon_\mu(k) \frac{(\not{p} - \not{k}' + m)}{(p-k')^2 - m^2} \gamma^\nu \epsilon_\nu^*(k') \right] u^s(p) \\ &= -ie^2 \epsilon_\nu^*(k') \epsilon_\mu(k) \bar{u}^r(p') \left[\frac{\gamma^\nu (\not{p} + \not{k} + m) \gamma^\mu}{(p+k)^2 - m^2} + \frac{\gamma^\mu (\not{p} - \not{k}' + m) \gamma^\nu}{(p-k')^2 - m^2} \right] u^s(p) \end{aligned}$$

$$p^2 = (p')^2 = m^2 \quad , \quad k^2 = (k')^2 = 0 \quad , \quad (\not{p} - m)u(p) = 0 \quad (\text{Dirac Equation})$$

$$(p+k)^2 - m^2 = p^2 + 2p \cdot k + k^2 - m^2 = 2p \cdot k \quad , \quad (p-k')^2 - m^2 = -2p \cdot k'$$

$$\begin{aligned} (\not{p} + m) \gamma^\nu u(p) &= (p_\mu \gamma^\mu + m) \gamma^\nu u(p) = p_\mu (2g^{\mu\nu} - \gamma^\nu \gamma^\mu) u(p) + m \gamma^\nu u(p) = \\ &= 2p^\nu u(p) - \gamma^\nu (\not{p} - m) u(p) = 2p^\nu u(p) \end{aligned}$$



Cálculo do elemento da matriz S

Antes de prosseguir para o cálculo de $|\mathcal{M}|^2$ podemos fazer algumas simplificações:

$$\begin{aligned} i\mathcal{M} &= -ie^2 \bar{u}^r(p') \left[\gamma^\nu \epsilon_\nu^*(k') \frac{(\not{p} + \not{k} + m)}{(p+k)^2 - m^2} \gamma^\mu \epsilon_\mu(k) + \gamma^\mu \epsilon_\mu(k) \frac{(\not{p} - \not{k}' + m)}{(p-k')^2 - m^2} \gamma^\nu \epsilon_\nu^*(k') \right] u^s(p) \\ &= -ie^2 \epsilon_\nu^*(k') \epsilon_\mu(k) \bar{u}^r(p') \left[\frac{\gamma^\nu (\not{p} + \not{k} + m) \gamma^\mu}{(p+k)^2 - m^2} + \frac{\gamma^\mu (\not{p} - \not{k}' + m) \gamma^\nu}{(p-k')^2 - m^2} \right] u^s(p) \end{aligned}$$



$$\begin{aligned} i\mathcal{M} &= -ie^2 \epsilon_\nu^*(k') \epsilon_\mu(k) \bar{u}^r(p') \left[\frac{2\gamma^\nu p^\mu + \gamma^\nu \not{k} \gamma^\mu}{2p \cdot k} + \frac{2\gamma^\mu p^\nu - \gamma^\mu \not{k}' \gamma^\nu}{-2p \cdot k'} \right] u^s(p) \\ &= -ie^2 \epsilon_\nu^*(k') \epsilon_\mu(k) \bar{u}^r(p') \left[\frac{2\gamma^\nu p^\mu + \gamma^\nu \not{k} \gamma^\mu}{2p \cdot k} + \frac{-2\gamma^\mu p^\nu + \gamma^\mu \not{k}' \gamma^\nu}{2p \cdot k'} \right] u^s(p) \end{aligned}$$



Cálculo do elemento da matriz S

$$i\mathcal{M} = -ie^2 \epsilon_\nu^*(k') \epsilon_\mu(k) \bar{u}^r(p') \left[\frac{2\gamma^\nu p^\mu + \gamma^\nu k \gamma^\mu}{2p \cdot k} + \frac{-2\gamma^\mu p^\nu + \gamma^\mu k' \gamma^\nu}{2p \cdot k'} \right] u^s(p)$$

Para tirar o complexo conjugado usaremos a identidade:

$$\gamma^{\mu\dagger} = \gamma^0 \gamma^\mu \gamma^0 \quad \gamma^{0\dagger} = \gamma^0$$

$$[\bar{u}(p) \gamma^{\mu_1} \dots \gamma^{\mu_n} u(p')]^* = [u^\dagger(p) \gamma^0 \gamma^{\mu_1} \dots \gamma^{\mu_n} u(p')]^\dagger = \bar{u}(p') \gamma^{\mu_n} \dots \gamma^{\mu_1} u(p)$$

$$-i\mathcal{M}^* = ie^2 \epsilon_\rho(k') \epsilon_\sigma^*(k) \bar{u}^s(p) \left[\frac{2\gamma^\rho p^\sigma + \gamma^\sigma k \gamma^\rho}{2p \cdot k} + \frac{-2\gamma^\sigma p^\rho + \gamma^\rho k' \gamma^\sigma}{2p \cdot k'} \right] u^r(p')$$



Soma sobre as polarizações e sobre os spins

$$\sum_s u^s(p) \bar{u}^s(p) = \cancel{p} + m \quad , \quad \sum_{\text{polarizations}} \epsilon_\mu^* \epsilon_\nu \rightarrow -g_{\mu\nu}$$

$$\frac{1}{4} \sum |\mathcal{M}|^2 = \frac{e^4}{4} \sum \epsilon_\nu^*(k') \epsilon_\mu(k) \bar{u}^r(p') \left[\frac{2\gamma^\nu p^\mu + \gamma^\nu \cancel{k}\gamma^\mu}{2p \cdot k} + \frac{-2\gamma^\mu p^\nu + \gamma^\mu \cancel{k}'\gamma^\nu}{2p \cdot k'} \right] u^s(p) \cdot \\ \cdot \epsilon_\rho(k') \epsilon_\sigma^*(k) \bar{u}^s(p) \left[\frac{2\gamma^\rho p^\sigma + \gamma^\sigma \cancel{k}\gamma^\rho}{2p \cdot k} + \frac{-2\gamma^\sigma p^\rho + \gamma^\rho \cancel{k}'\gamma^\sigma}{2p \cdot k'} \right] u^r(p')$$

$$\frac{1}{4} \sum |\mathcal{M}|^2 = \frac{e^4}{4} \sum_{s,r} g_{\nu\rho} g_{\mu\sigma} \bar{u}_{\color{red}a}^r(p') \left[\frac{2\gamma^\nu p^\mu + \gamma^\nu \cancel{k}\gamma^\mu}{2p \cdot k} + \frac{-2\gamma^\mu p^\nu + \gamma^\mu \cancel{k}'\gamma^\nu}{2p \cdot k'} \right] u^s(p)_{\color{red}b} \cdot \\ \cdot \bar{u}_{\color{red}c}^s(p) \left[\frac{2\gamma^\rho p^\sigma + \gamma^\sigma \cancel{k}\gamma^\rho}{2p \cdot k} + \frac{-2\gamma^\sigma p^\rho + \gamma^\rho \cancel{k}'\gamma^\sigma}{2p \cdot k'} \right] u_{\color{red}d}^r(p')$$



Soma sobre as polarizações e sobre os spins

$$\frac{1}{4} \sum |\mathcal{M}|^2 = \frac{e^4}{4} g_{\nu\rho} g_{\mu\sigma} Tr \left\{ (\not{p}' + m) \left[\frac{2\gamma^\nu p^\mu + \gamma^\nu \not{k}\gamma^\mu}{2p \cdot k} + \frac{-2\gamma^\mu p^\nu + \gamma^\mu \not{k}'\gamma^\nu}{2p \cdot k'} \right] (\not{p} + m) \left[\frac{2\gamma^\rho p^\sigma + \gamma^\sigma \not{k}\gamma^\rho}{2p \cdot k} + \frac{-2\gamma^\sigma p^\rho + \gamma^\rho \not{k}'\gamma^\sigma}{2p \cdot k'} \right] \right\}$$

$$\frac{1}{4} \sum |\mathcal{M}|^2 = \frac{e^4}{4} Tr \left\{ (\not{p}' + m) \left[\frac{2\gamma^\nu p^\mu + \gamma^\nu \not{k}\gamma^\mu}{2p \cdot k} + \frac{-2\gamma^\mu p^\nu + \gamma^\mu \not{k}'\gamma^\nu}{2p \cdot k'} \right] (\not{p} + m) \left[\frac{2\gamma_\nu p_\mu + \gamma_\mu \not{k}\gamma_\nu}{2p \cdot k} + \frac{-2\gamma_\mu p_\nu + \gamma_\nu \not{k}'\gamma_\mu}{2p \cdot k'} \right] \right\}$$

$$\frac{1}{4} \sum |\mathcal{M}|^2 = \frac{e^4}{4} \left[\frac{\mathbf{I}}{(2p \cdot k)^2} + \frac{\mathbf{II}}{(2p \cdot k)(2p \cdot k')} + \frac{\mathbf{III}}{(2p \cdot k')(2p \cdot k)} + \frac{\mathbf{IV}}{(2p \cdot k')^2} \right]$$



Cálculo do traço das matrizes gamma

$$\frac{1}{4} \sum |\mathcal{M}|^2 = \frac{e^4}{4} \left[\frac{\mathbf{I}}{(2p \cdot k)^2} + \frac{\mathbf{II}}{(2p \cdot k)(2p \cdot k')} + \frac{\mathbf{III}}{(2p \cdot k')(2p \cdot k)} + \frac{\mathbf{IV}}{(2p \cdot k')^2} \right]$$

$$\mathbf{I} = Tr[(\not{p}' + m)(2\gamma^\nu p^\mu + \gamma^\nu \not{k}\gamma^\mu)(\not{p} + m)(2\gamma_\nu p_\mu + \gamma_\mu \not{k}\gamma_\nu)]$$

$$\mathbf{II} = Tr[(\not{p}' + m)(2\gamma^\nu p^\mu + \gamma^\nu \not{k}\gamma^\mu)(\not{p} + m)(-2\gamma_\mu p_\nu + \gamma_\nu \not{k}'\gamma_\mu)]$$

$$\mathbf{III} = Tr[(\not{p}' + m)(-2\gamma^\mu p^\nu + \gamma^\mu \not{k}'\gamma^\nu)(\not{p} + m)(2\gamma_\nu p_\mu + \gamma_\mu \not{k}\gamma_\nu)]$$

$$\mathbf{IV} = Tr[(\not{p}' + m)(-2\gamma^\mu p^\nu + \gamma^\mu \not{k}'\gamma^\nu)(\not{p} + m)(-2\gamma_\mu p_\nu + \gamma_\nu \not{k}'\gamma_\mu)]$$



Cálculo do traço das matrizes gamma

$$\mathbf{I} = Tr[(\not{p}' + m)(2\gamma^\nu p^\mu + \gamma^\nu \not{k}\gamma^\mu)(\not{p} + m)(2\gamma_\nu p_\mu + \gamma_\mu \not{k}\gamma_\nu)]$$

$$\begin{aligned}\mathbf{I} &= Tr[(\not{p}' + m)(2\gamma^\nu p^\mu + \gamma^\nu \not{k}\gamma^\mu)(\not{p} + m)(2\gamma_\nu p_\mu + \gamma_\mu \not{k}\gamma_\nu)] \\ &= 4p'_\rho p_\sigma Tr[\gamma^\rho \gamma^\nu \gamma^\sigma \gamma_\nu p^\mu p_\mu] + 4Tr[m^2 \gamma^\nu p^\mu \gamma_\nu p_\mu] + Tr[m \gamma^\nu \not{k}\gamma^\mu m \gamma_\mu \not{k}\gamma_\nu] + Tr[\not{p}' \gamma^\nu \not{k}\gamma^\mu \not{p} \gamma_\mu \not{k}\gamma_\nu] \\ &\quad + \dots\end{aligned}$$

Para calcular esses termos, usaremos as seguintes propriedades:

$$Tr[\text{any odd } \# \text{ of } \gamma\text{'s}] = 0 \quad , \quad Tr[\mathbf{1}] = 4 \quad , \quad Tr[\gamma^\mu \gamma^\nu] = 4g^{\mu\nu}$$

$$Tr[\gamma^\mu \gamma^\nu \gamma^\rho \gamma^\sigma] = 4(g^{\mu\nu} g^{\rho\sigma} - g^{\mu\rho} g^{\nu\sigma} + g^{\mu\sigma} g^{\nu\rho}) \quad , \quad \gamma^\mu \gamma^\nu \gamma_\mu = -2\gamma^\nu$$



Cálculo do traço das matrizes gamma

Desse modo:

$$Tr[\not{p}' 2\gamma^\nu p^\mu \not{p} 2\gamma_\nu p_\mu] = 4p'_\rho p_\sigma Tr[\gamma^\rho \gamma^\nu \gamma^\sigma \gamma_\nu p^\mu p_\mu] = -8m^2 p'_\rho p_\sigma Tr[\gamma^\rho \gamma^\sigma] = -32m^2 p' \cdot p$$

$$4Tr[m^2 \gamma^\nu p^\mu \gamma_\nu p_\mu] = 4m^4 Tr[\gamma^\mu \gamma^\mu] = 64m^2 \quad \text{because} \quad 2\gamma^\nu \gamma_\nu = \{\gamma^\nu \gamma_\nu\} = 2g_\nu^\nu = 8 \cdot 1$$

$$Tr[m \gamma^\nu k \gamma^\mu m \gamma_\mu k \gamma_\nu] = 16m^2 k_\rho k_\sigma Tr[\gamma^\rho \gamma^\sigma] = 64m^2 k \cdot k = 0$$

$$\begin{aligned} Tr[\not{p}' \gamma^\nu k \gamma^\mu \not{p} \gamma_\mu k \gamma_\nu] &= p'_\sigma k_\alpha p_\rho k_\beta Tr[\gamma^\sigma \gamma^\nu \gamma^\alpha \gamma^\mu \gamma^\rho \gamma_\mu \gamma^\beta \gamma_\nu] \\ &= 4p'_\sigma k_\alpha p_\rho k_\beta Tr[\gamma^\sigma \gamma^\alpha \gamma^\rho \gamma^\beta] = 32(p \cdot k)(p' \cdot k) \end{aligned}$$

Convém agora partir para a fórmula final de **I**, dado que o restante dos cálculos é apenas uma questão operacional.



Variáveis de Mandelstam

$$\mathbf{I} = 16(4m^4 - 2m^2 p \cdot p' + 4m^2 p \cdot k - 2m^2 p' \cdot k + 2(p \cdot k)(p' \cdot k))$$

Simplificamos a expressão:

$$s = (p + k)^2 = 2p \cdot k + m^2 = 2p' \cdot k' + m^2$$

$$t = (p' - p)^2 = -2p \cdot p' + 2m^2 = -2k \cdot k'$$

$$u = (p - k')^2 = -2k' \cdot p + m^2 = -2k \cdot p' + m^2$$

$$2m^2 = s + t + u$$

$$\mathbf{I} = 16 \left[2m^4 + m^2(s - m^2) - \frac{1}{2}(s - m^2)(u - m^2) \right]$$



Variáveis de Mandelstam

O termo IV vem de $|\mathcal{M}_u|^2$, o que equivale à troca $k \rightarrow -k'$. Sendo assim obtemos o resultado imediatamente a partir de I.

$$\mathbf{I} = 16 \left[2m^4 + m^2(s - m^2) - \frac{1}{2}(s - m^2)(u - m^2) \right]$$



$$\mathbf{IV} = 16 \left[2m^4 + m^2(u - m^2) - \frac{1}{2}(s - m^2)(u - m^2) \right]$$

O cálculo dos demais termos prossegue da mesma maneira:

$$\mathbf{II} = \mathbf{III} = -8(4m^4 + m^2(s - m^2) + m^2(u - m^2))$$

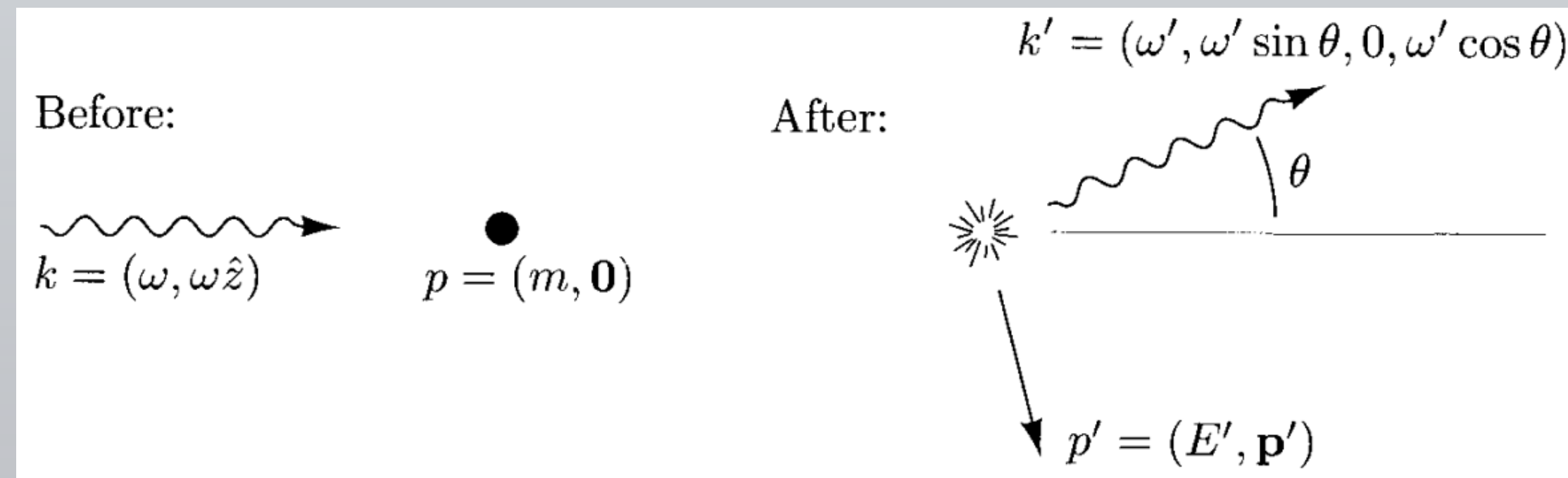


Cálculo da seção de choque

Juntando todo o resultado e simplificando, chegamos em:

$$\frac{1}{4} \sum |\mathcal{M}|^2 = 2e^4 \left[\frac{p \cdot k'}{p \cdot k} + \frac{p \cdot k}{p \cdot k'} + 2m^2 \left(\frac{1}{p \cdot k} - \frac{1}{p \cdot k'} \right) + m^4 \left(\frac{1}{p \cdot k} - \frac{1}{p \cdot k'} \right)^2 \right]$$

Para o cálculo da seção de choque vamos trabalhar no referencial em que o elétron está inicialmente em repouso:



Cálculo da seção de choque

Com isso:

$$k = (\omega, 0, 0, \omega)$$

$$p = (m, 0, 0, 0)$$

$$k' = \omega'(1, \sin \theta, 0, \cos \theta)$$

$$p' = (E', \vec{p}')$$

$$\begin{aligned} m^2 &= (p')^2 = (p + k - k')^2 = p^2 + 2p \cdot (k - k') - 2k \cdot k' \\ &= m^2 + 2m(\omega - \omega') - 2\omega\omega'(1 - \cos \theta) \end{aligned}$$

$$\frac{1}{\omega'} = \frac{1}{\omega} - \frac{(1 - \cos \theta)}{m} \quad \longrightarrow \quad \omega' = \frac{\omega}{1 + \beta(1 - \cos \theta)}, \quad \beta = \frac{\omega}{m}$$



Cálculo da seção de choque

Nesse referencial, a integral no espaço de fase é dada por:

$$\begin{aligned} \int d\Pi &= \int \frac{d^3k'}{(2\pi)^3} \frac{1}{2\omega'} \frac{d^3p'}{(2\pi)^3} \frac{1}{2E'} (2\pi)^4 \delta^{(4)}(k' + p' - k - p) = \\ &= \int \frac{(\omega')^2 d\omega' d\Omega}{(2\pi^3)} \frac{1}{4\omega' E'} 2\pi \delta(\omega' + \sqrt{m^2 + \omega^2 + (\omega')^2 - 2\omega\omega' \cos\theta} - \omega - m) \\ &= \int \frac{d\cos\theta}{2\pi} \frac{\omega'}{4E'} \frac{1}{\left| 1 + \frac{\omega' - \omega \cos\theta}{E'} \right|} = \frac{1}{8\pi} \int d\cos\theta \frac{\omega'}{m + \omega(1 - \cos\theta)} \\ &= \frac{1}{8\pi} \int d\cos\theta \frac{(\omega')^2}{\omega m} \end{aligned}$$

$$\delta(f(x) - f(x_0)) = \frac{1}{|f'(x_0)|} \delta(x - x_0)$$



Cálculo da seção de choque

Como $|v_A - v_B| = 1$:

$$\frac{d\sigma}{d \cos \theta} = \frac{1}{2\omega} \frac{1}{2m} \frac{1}{8\pi} \frac{(\omega')^2}{\omega m} \left(\frac{1}{4} \sum |\mathcal{M}|^2 \right)$$

$$\frac{1}{4} \sum |\mathcal{M}|^2 = 2e^4 \left[\frac{p \cdot k'}{p \cdot k} + \frac{p \cdot k}{p \cdot k'} + 2m^2 \left(\frac{1}{p \cdot k} - \frac{1}{p \cdot k'} \right) + m^4 \left(\frac{1}{p \cdot k} - \frac{1}{p \cdot k'} \right)^2 \right]$$

$$p \cdot k = m\omega \quad , \quad p \cdot k' = m\omega'$$

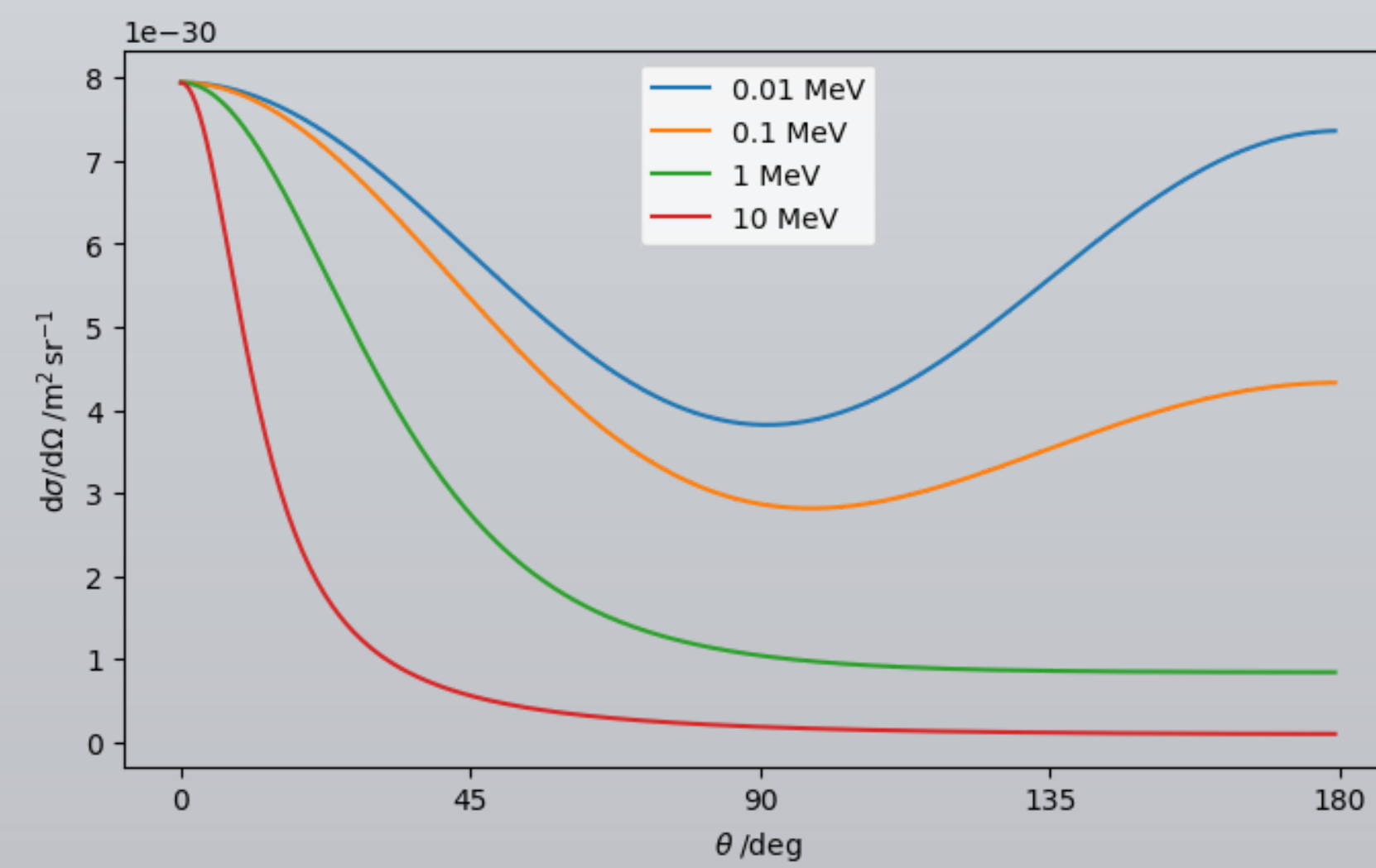
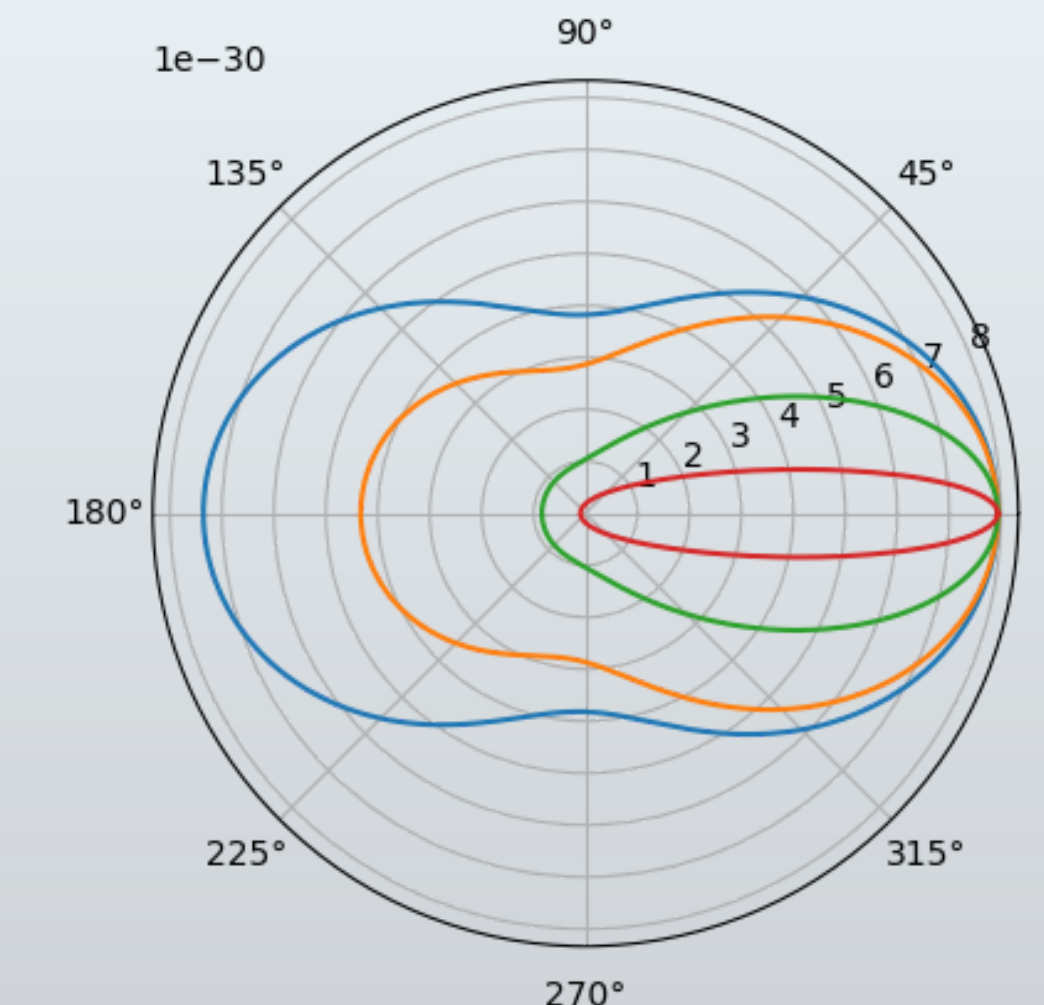
$$\boxed{\frac{d\sigma}{d \cos \theta} = \frac{\pi \alpha^2}{m^2} \left(\frac{\omega'}{\omega} \right)^2 \left[\frac{\omega'}{\omega} + \frac{\omega}{\omega'} - \sin^2 \theta \right]}$$

Essa é a fórmula de Klein-Nishina para a seção de choque diferencial do espalhamento Compton.



A fórmula de Klein-Nishina

$$\frac{d\sigma}{d \cos \theta} = \frac{\pi \alpha^2}{m^2} \left(\frac{\omega'}{\omega} \right)^2 \left[\frac{\omega'}{\omega} + \frac{\omega}{\omega'} - \sin^2 \theta \right]$$



Limite de baixas energias

Se $\omega \ll m$ temos $\omega' \approx \omega$, de modo a recuperar a seção de choque clássica do espalhamento Thomson (limite de baixas energias do espalhamento Compton):

$$\frac{d\sigma}{d\cos\theta} = \frac{\pi\alpha^2}{m^2}(1 + \cos^2\theta) \quad , \quad \sigma_T = \frac{8\pi\alpha^2}{3m^2}$$



Introdução à cosmologia fiducial

Na cosmologia partimos do princípio cosmológico, pelo qual o universo é homogêneo e isotrópico em grandes escalas.

Table 1.1 Important length scales of the universe (in different units)

| Object | Size [km] | Size [ly] | Size [Mpc] |
|--------------------|----------------------|-----------------------|-----------------------|
| Earth | 6371 | 6.7×10^{-10} | 2.1×10^{-16} |
| Distance to Sun | 1.5×10^8 | 1.6×10^{-5} | 4.8×10^{-12} |
| Solar System | 4.5×10^9 | 4.7×10^{-4} | 1.5×10^{-10} |
| Milky Way Galaxy | 1.0×10^{18} | 105 700 | 0.032 |
| Local Group | 9×10^{19} | 9×10^6 | 3 |
| Local Supercluster | 5×10^{21} | 5×10^8 | 150 |
| Universe | 4.4×10^{23} | 46.5 billion | 14 000 |

FLRW metric

$$g_{\mu\nu} = \begin{pmatrix} -1 & 0 & 0 & 0 \\ 0 & a^2(t) & 0 & 0 \\ 0 & 0 & a^2(t) & 0 \\ 0 & 0 & 0 & a^2(t) \end{pmatrix}$$



Introdução à cosmologia fiducial

Conseguimos calcular a taxa de expansão do universo conhecendo seu conteúdo (radiação, matéria bariônica, matéria escura e energia escura). Tomamos aproximações de fluidos perfeitos para trabalhar com essas componentes a nível de background (sem perturbações). Da componente 00 das equações de Einstein obtemos:

$$\left(\frac{\dot{a}}{a}\right)^2 = \frac{8\pi G}{3} \rho$$

$$\frac{H^2(t)}{H_0^2} = \frac{\rho(t)}{\rho_{\text{cr}}} = \sum_{s=r,m,\nu,\text{DE}} \Omega_s [a(t)]^{-3(1+w_s)}$$



Introdução à cosmologia fiducial

Porém, para extrair o máximo que a cosmologia pode nos oferecer, é necessário avançar para a teoria de perturbação. Isso se dá por perturbações tanto da métrica quanto das componentes do tensor energia-momento.

$$G_{\mu\nu} \equiv R_{\mu\nu} - \frac{1}{2}g_{\mu\nu}R$$

Além disso, da física estatística, incorporamos a equação de Boltzmann, que relaciona a distribuição estatística de determinado componente do nosso universo (e aqui é possível trabalhar a nível das partículas) com seus termos de fonte, impondo uma dinâmica ao sistema.

$$\frac{df}{dt} = C[f]$$



Introdução à cosmologia fiducial

Aqui vemos surgir expressões muito familiares à teoria quântica de campos:

$$\frac{df(\mathbf{x}, \mathbf{p}, t)}{dt} = 0 \quad \text{where} \quad \frac{d}{dt} = \frac{\partial}{\partial t} + \dot{\mathbf{x}} \cdot \nabla_{\mathbf{x}} + \dot{\mathbf{p}} \cdot \nabla_{\mathbf{p}} \quad (\text{caso sem fontes})$$

$$(1)_{\mathbf{p}} + (2)_{\mathbf{q}} \longleftrightarrow (3)_{\mathbf{p}'} + (4)_{\mathbf{q}'} \quad \mathbf{p} + \mathbf{q} = \mathbf{p}' + \mathbf{q}'; \quad E_1(\mathbf{p}) + E_2(\mathbf{q}) = E_3(\mathbf{p}') + E_4(\mathbf{q}')$$

$$C[f_1(\mathbf{p})] = \sum_{\mathbf{q}, \mathbf{q}', \mathbf{p}'}^{p+q=p'+q'} \delta_D^{(1)}(E_1(p) + E_2(q) - E_3(p') - E_4(q')) |\mathcal{M}|^2 \\ \times \{f_3(\mathbf{p}') f_4(\mathbf{q}') - f_1(\mathbf{p}) f_2(\mathbf{q})\}$$



Introdução à cosmologia fiducial

Outro aspecto importante é que, como consequência da física estatística fermiônica e bosônica conseguimos modelar o comportamento do plasma após o Big Bang (Hot Big Bang model).

$$\rho = \frac{\pi^2}{30} g_*(T) T^4$$

$$g_*(T) \equiv \sum_{i=b} g_i \left(\frac{T_i}{T} \right)^4 + \frac{7}{8} \sum_{i=f} g_i \left(\frac{T_i}{T} \right)^4$$



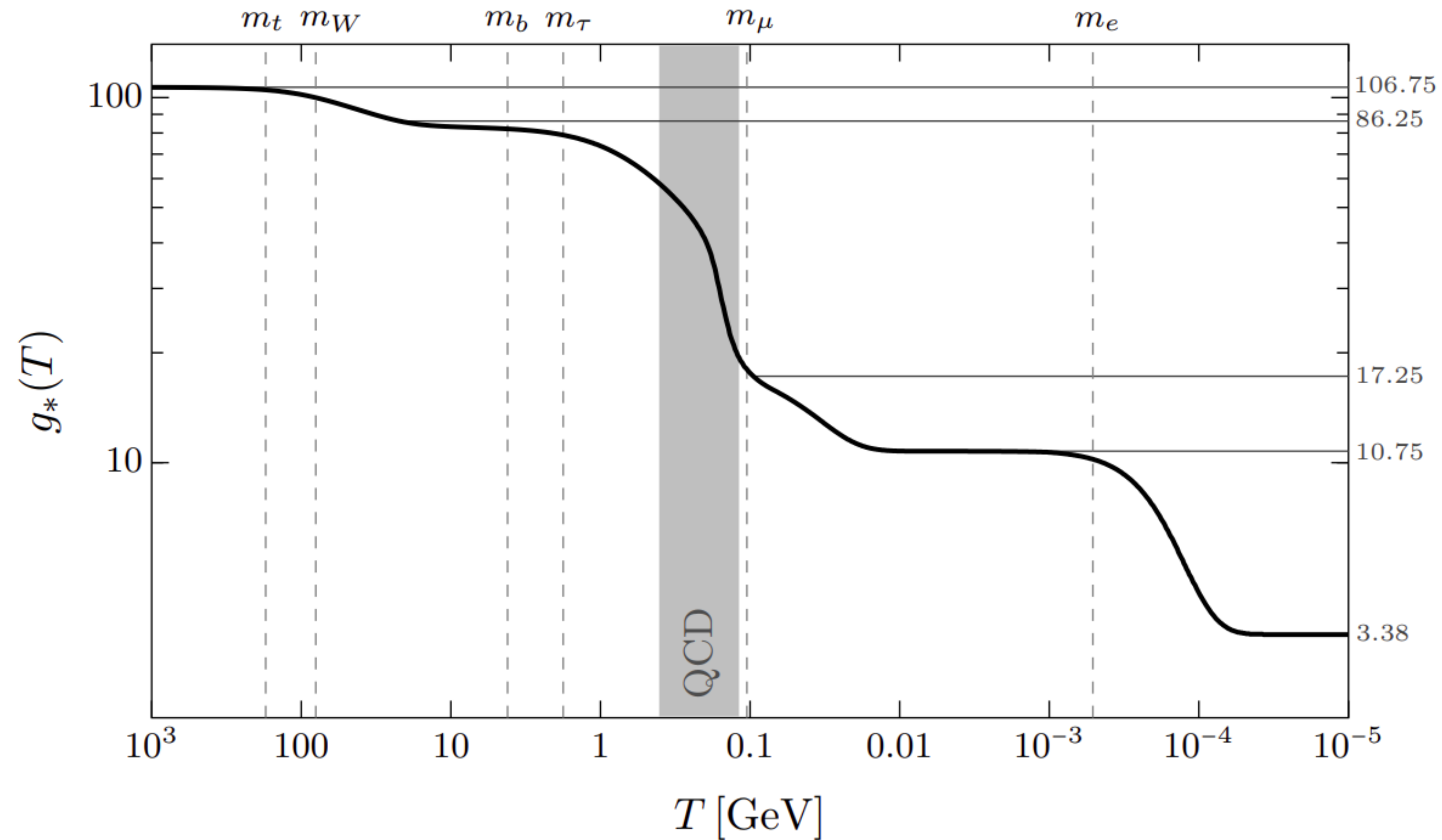
Introdução à cosmologia fiducial

Table 3.2 Particle content of the Standard Model

| Type | | Mass | Spin | g |
|--------------|----------------------------|----------|---------------|----------------------------|
| gauge bosons | γ | | 0 | 2 |
| | W^\pm | 80 GeV | 1 | 3 |
| | Z | 91 GeV | | |
| gluons | g_i | 0 | 1 | $8 \times 2 = 16$ |
| Higgs boson | H | 125 GeV | 0 | 1 |
| quarks | t, \bar{t} | 173 GeV | $\frac{1}{2}$ | $2 \times 3 \times 2 = 12$ |
| | b, \bar{b} | 4 GeV | | |
| | c, \bar{c} | 1 GeV | | |
| | s, \bar{s} | 100 MeV | | |
| | d, \bar{s} | 5 MeV | | |
| | u, \bar{u} | 2 MeV | | |
| leptons | τ^\pm | 1777 MeV | $\frac{1}{2}$ | $2 \times 2 = 4$ |
| | μ^\pm | 106 MeV | | |
| | e^\pm | 511 keV | | |
| | $\nu_\tau, \bar{\nu}_\tau$ | < 0.6 eV | $\frac{1}{2}$ | $2 \times 1 = 2$ |
| | $\nu_\mu, \bar{\nu}_\mu$ | < 0.6 eV | | |
| | $\nu_e, \bar{\nu}_e$ | < 0.6 eV | | |



Introdução à cosmologia fiducial



História térmica do universo e a recombinação

No surgimento da CMB os elétrons já haviam deixado de ser relativísticos a muito tempo, o que nos permite tomar aproximações.

Table 1.2 Key events in the history of the universe

| Event | Temperature | Energy | Time |
|-----------------------|---------------|-----------------|------------------|
| Inflation | $< 10^{29}$ K | $< 10^{16}$ GeV | $> 10^{-34}$ s |
| Dark matter decouples | ? | ? | ? |
| Baryons form | ? | ? | ? |
| EW phase transition | 10^{15} K | 100 GeV | 10^{-11} s |
| Hadrons form | 10^{12} K | 150 MeV | 10^{-5} s |
| Neutrinos decouple | 10^{10} K | 1 MeV | 1 s |
| Nuclei form | 10^9 K | 100 keV | 200 s |
| Atoms form | 3460 K | 0.29 eV | 290 000 yrs |
| Photons decouple | 2970 K | 0.25 eV | 370 000 yrs |
| First stars | 50 K | 4 meV | 100 million yrs |
| First galaxies | 20 K | 1.7 meV | 1 billion yrs |
| Dark energy | 3.8 K | 0.33 meV | 9 billion yrs |
| Einstein born | 2.7 K | 0.24 meV | 13.8 billion yrs |

$$m_e \approx 0.511 \text{ MeV}$$



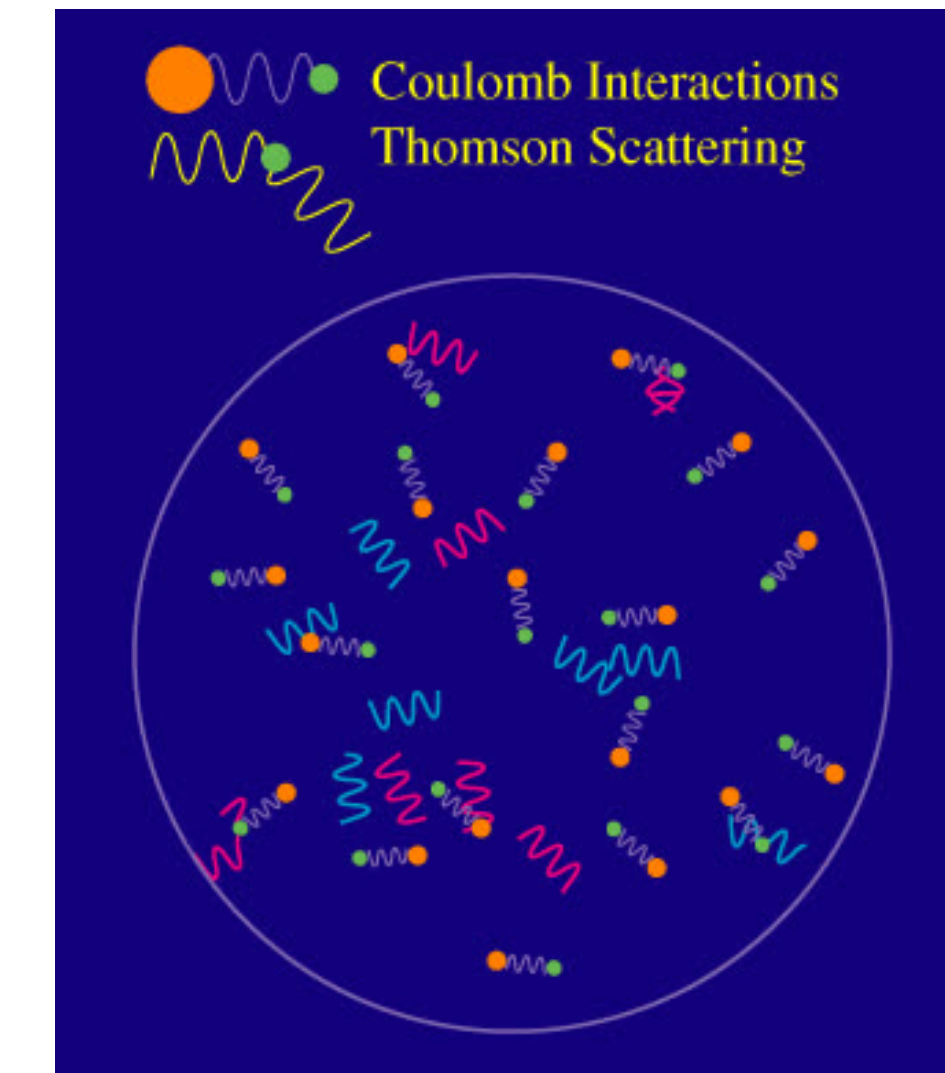
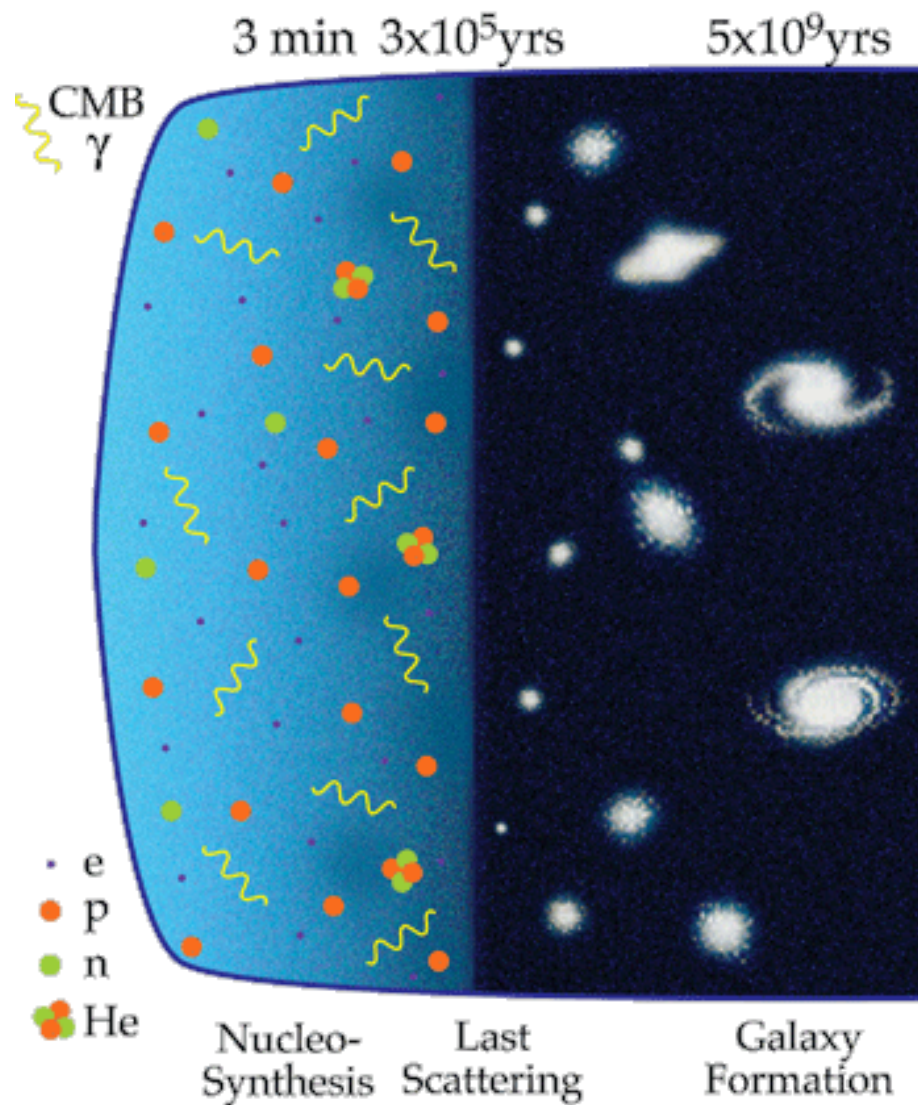
História térmica do universo e a recombinação

Table 3.1 Key events in the history of the early universe

| Event | Time | Redshift | Temperature |
|--------------------------------|-------------|-----------------|--------------|
| Inflation | ? | — | — |
| Baryogenesis | ? | ? | ? |
| Dark matter freeze-out | ? | ? | ? |
| EW phase transition | 20 ps | 10^{15} | 100 GeV |
| QCD phase transition | 20 μ s | 10^{12} | 150 MeV |
| Neutrino decoupling | 1 s | 6×10^9 | 1 MeV |
| Electron–positron annihilation | 6 s | 2×10^9 | 500 keV |
| Big Bang nucleosynthesis | 3 min | 4×10^8 | 100 keV |
| Matter–radiation equality | 50 kyr | 3400 | 0.80 eV |
| Recombination | 290–370 kyr | 1090–1270 | 0.25–0.29 eV |
| Photon decoupling | 370 kyr | 1090 | 0.25 eV |



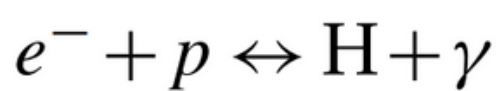
Efeitos do espalhamento Compton na CMB



Efeitos do espalhamento Compton na CMB

$$\begin{aligned}\langle \sigma v \rangle &\equiv \frac{1}{n_1^{(0)} n_2^{(0)}} \int \frac{d^3 p_1}{(2\pi)^3 2E_1} \int \frac{d^3 p_2}{(2\pi)^3 2E_2} \int \frac{d^3 p_3}{(2\pi)^3 2E_3} \int \frac{d^3 p_4}{(2\pi)^3 2E_4} e^{-(E_1 + E_2)/T} \\ &\quad \times (2\pi)^4 \delta_{\text{D}}^{(3)}(\mathbf{p}_1 + \mathbf{p}_2 - \mathbf{p}_3 - \mathbf{p}_4) \delta_{\text{D}}^{(1)}(E_1 + E_2 - E_3 - E_4) |\mathcal{M}|^2\end{aligned}$$

$$a^{-3} \frac{d(n_1 a^3)}{dt} = n_1^{(0)} n_2^{(0)} \langle \sigma v \rangle \left\{ \frac{n_3 n_4}{n_3^{(0)} n_4^{(0)}} - \frac{n_1 n_2}{n_1^{(0)} n_2^{(0)}} \right\}$$



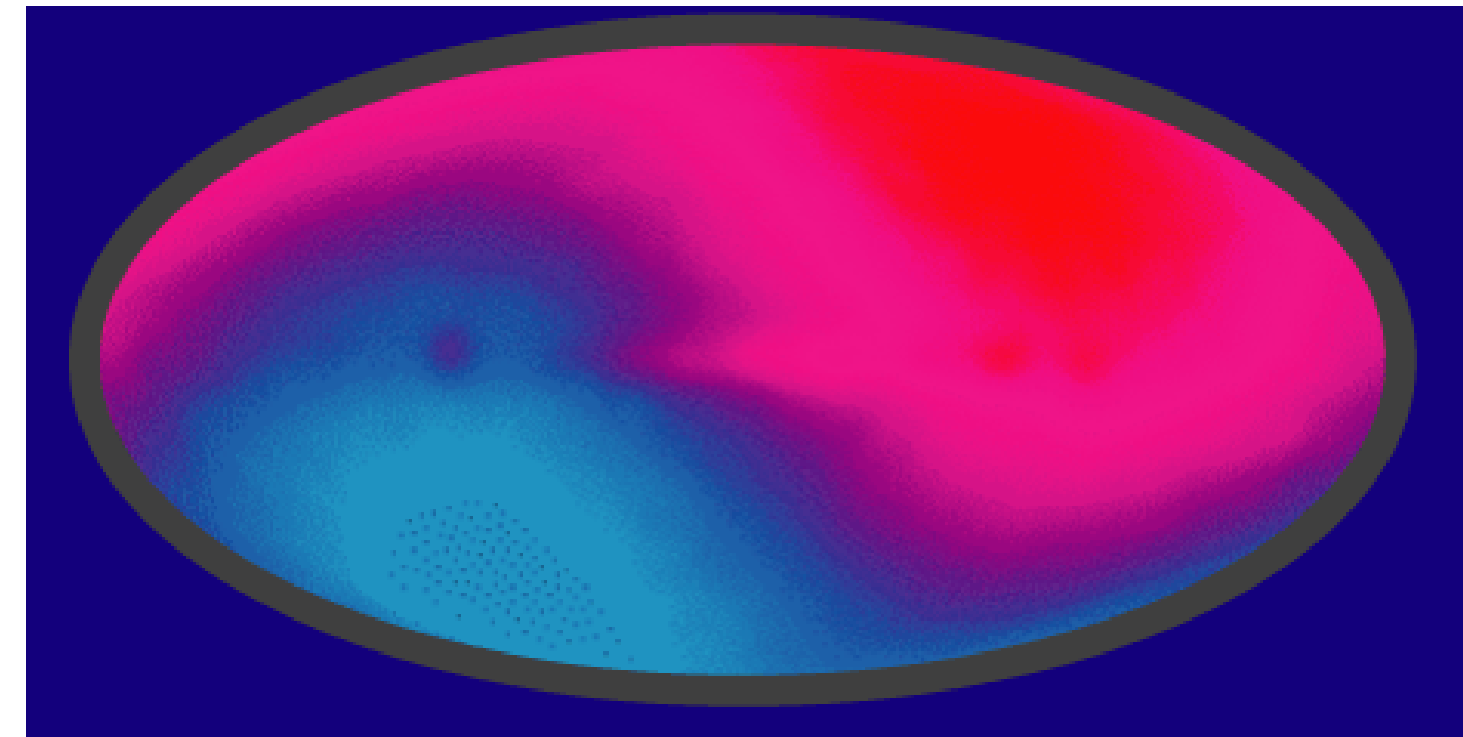
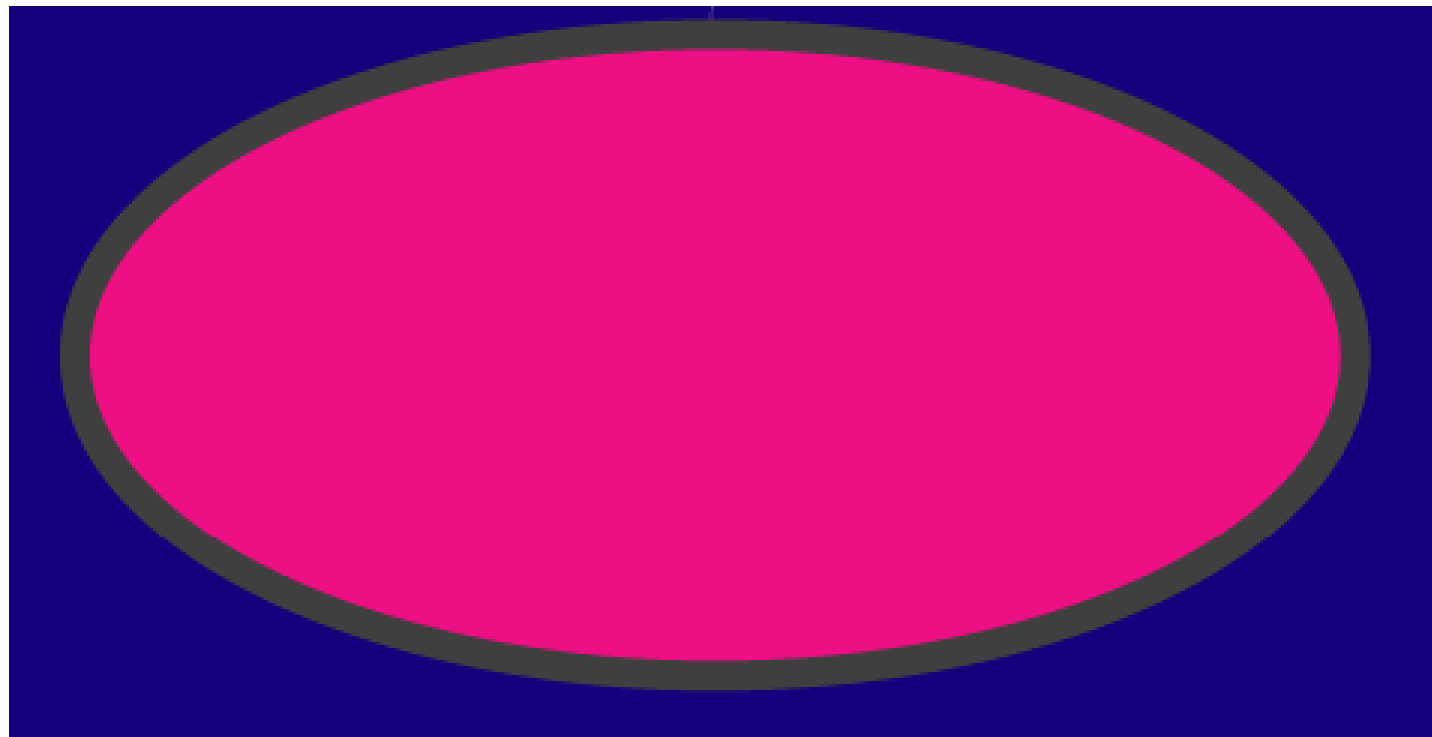
$$X_e \equiv \frac{n_e}{n_e + n_{\text{H}}} = \frac{n_p}{n_p + n_{\text{H}}}$$

$$\begin{aligned}a^{-3} \frac{d(n_e a^3)}{dt} &= n_e^{(0)} n_p^{(0)} \langle \sigma v \rangle \left\{ \frac{n_{\text{H}}}{n_{\text{H}}^{(0)}} - \frac{n_e^2}{n_e^{(0)} n_p^{(0)}} \right\} \\ &= n_{\text{b}} \langle \sigma v \rangle \left\{ (1 - X_e) \left(\frac{m_e T}{2\pi} \right)^{3/2} e^{-\epsilon_0/T} - X_e^2 n_{\text{b}} \right\}\end{aligned}$$

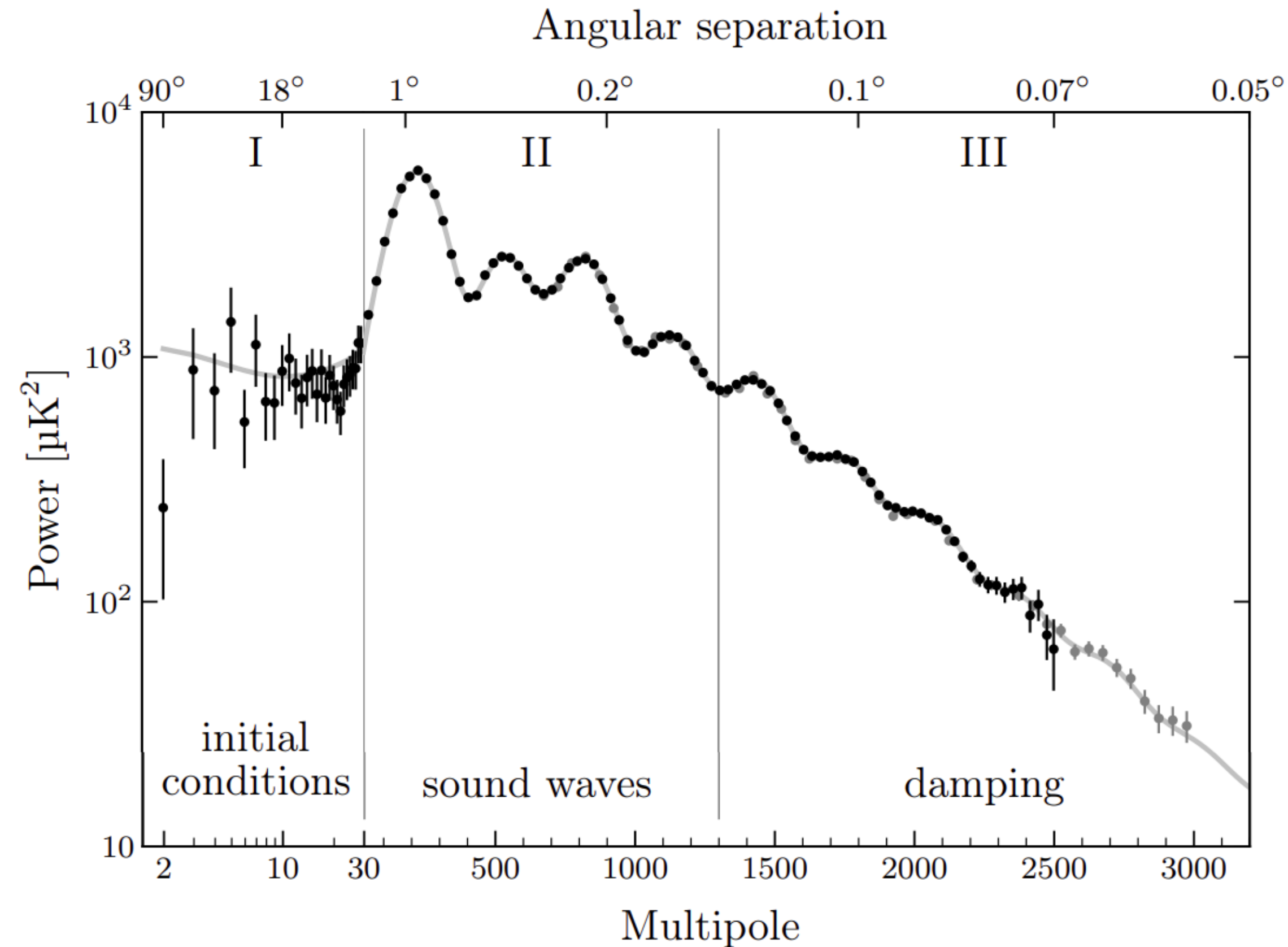


Efeitos do espalhamento Compton na CMB

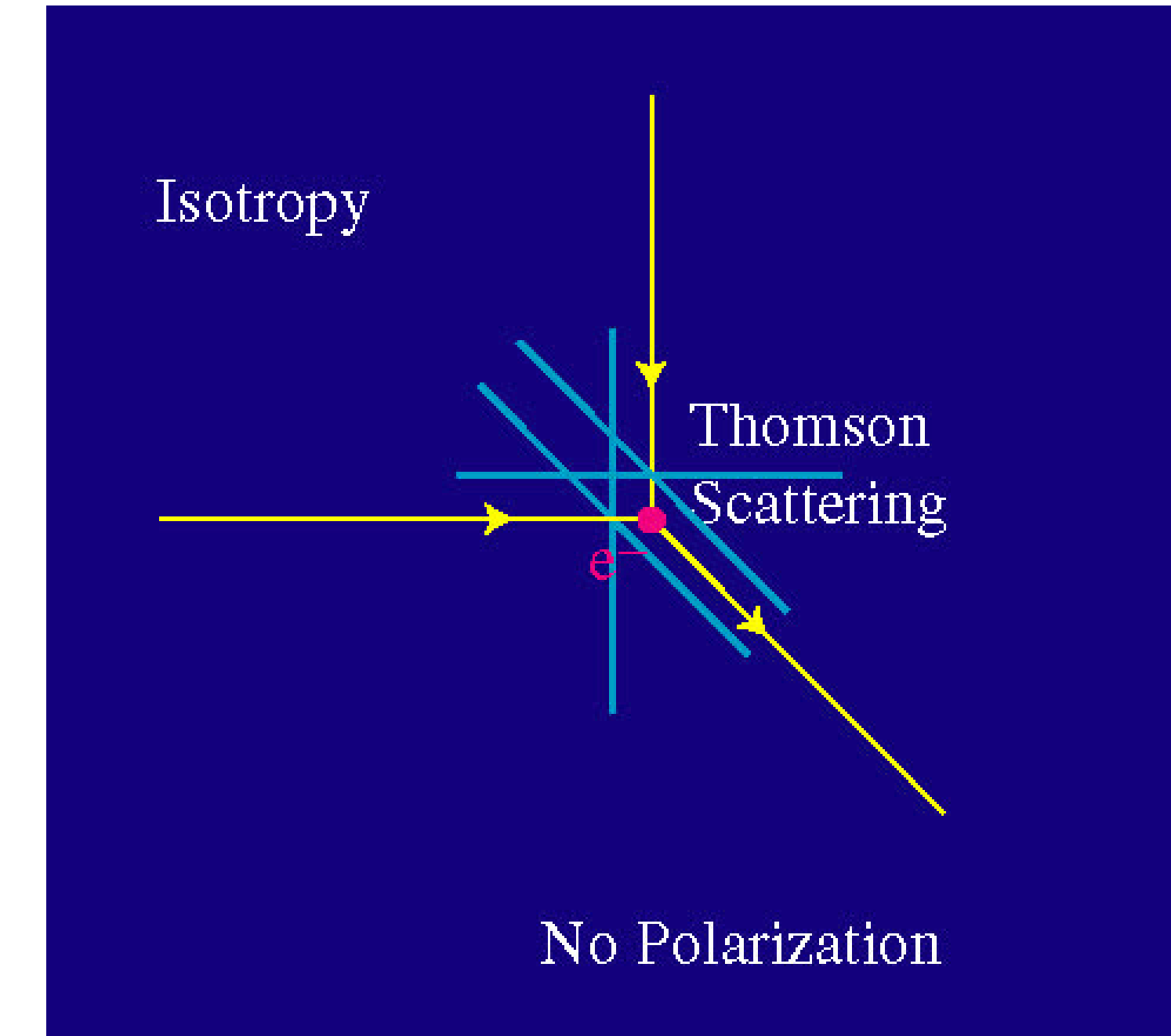
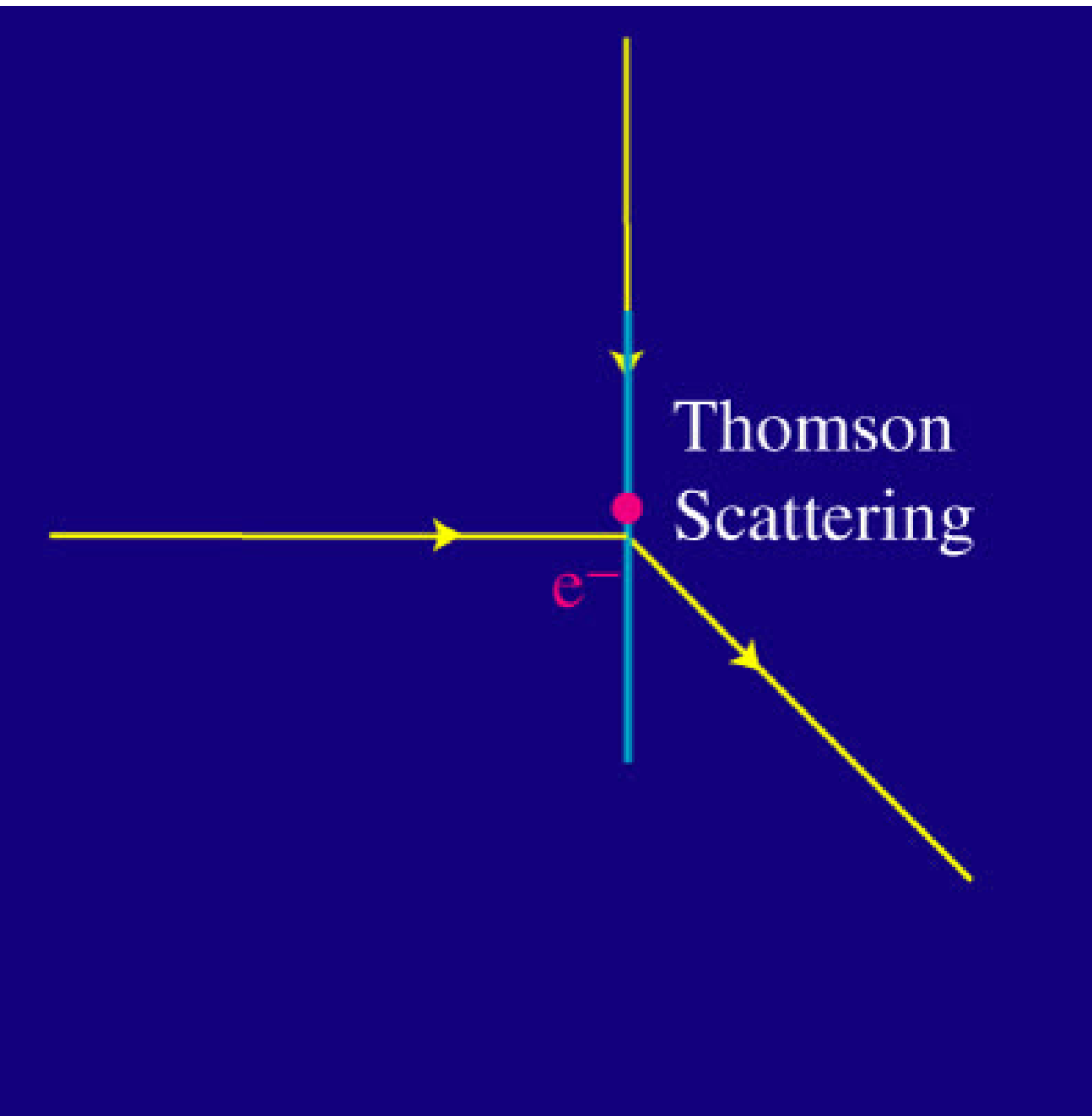
Os termos de monopolio e de dipolo devem ser subitraídos da CMB para obtermos o mapa das anisotropias na temperatura. O termo de dipolo surge devido ao movimento do sistema solar.



Efeitos do espalhamento Compton na CMB

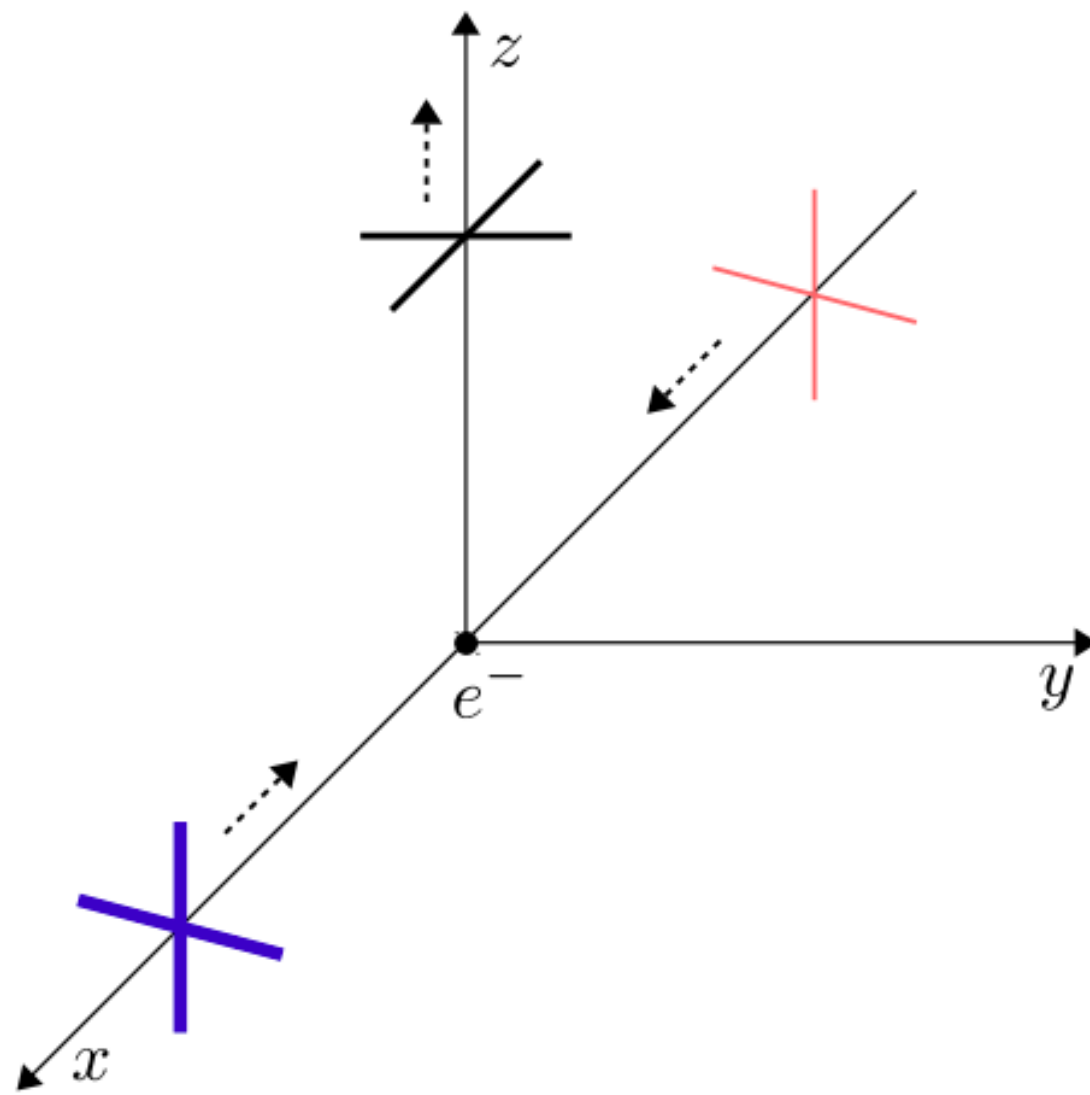


Polarização

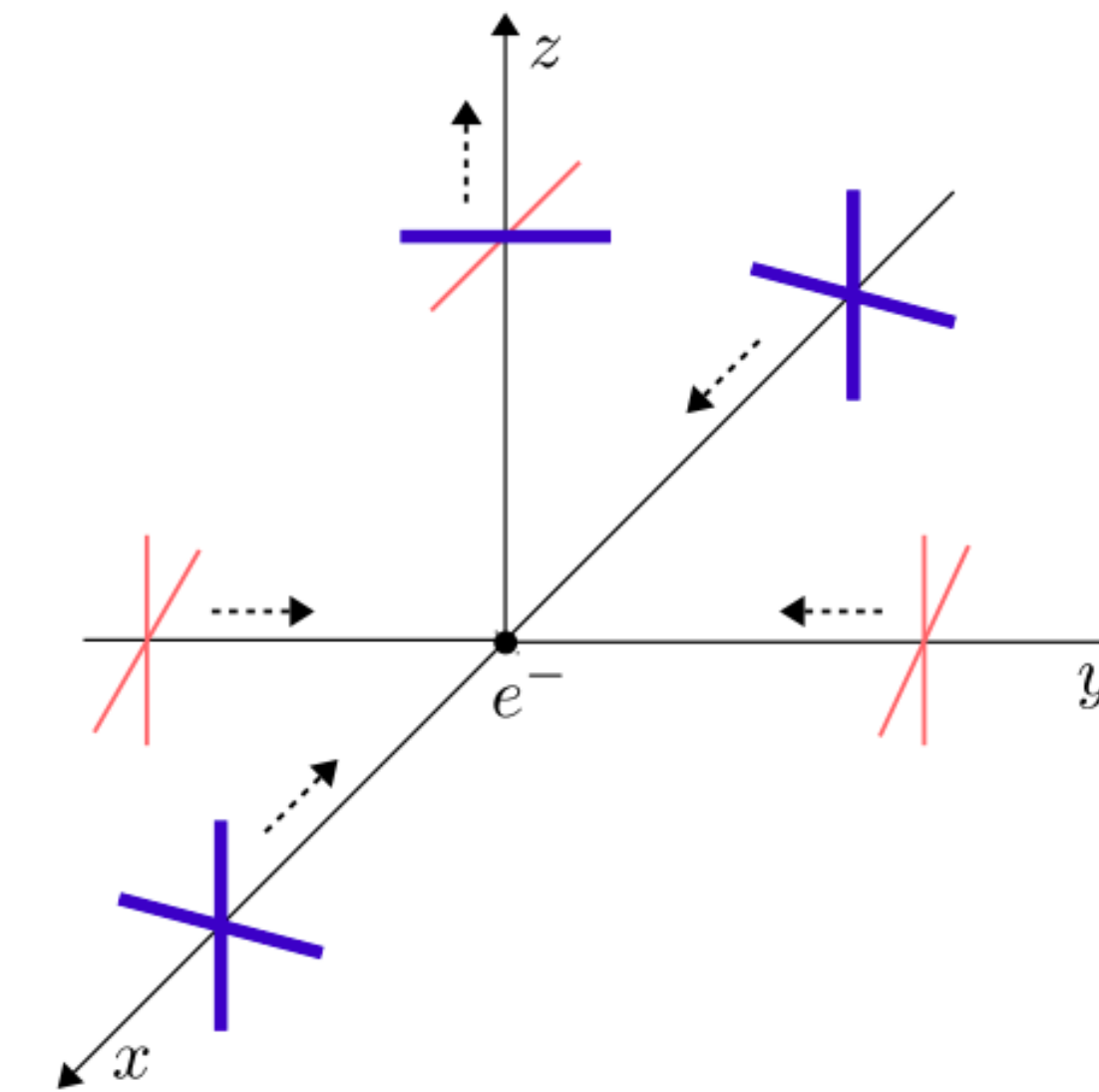


Polarização

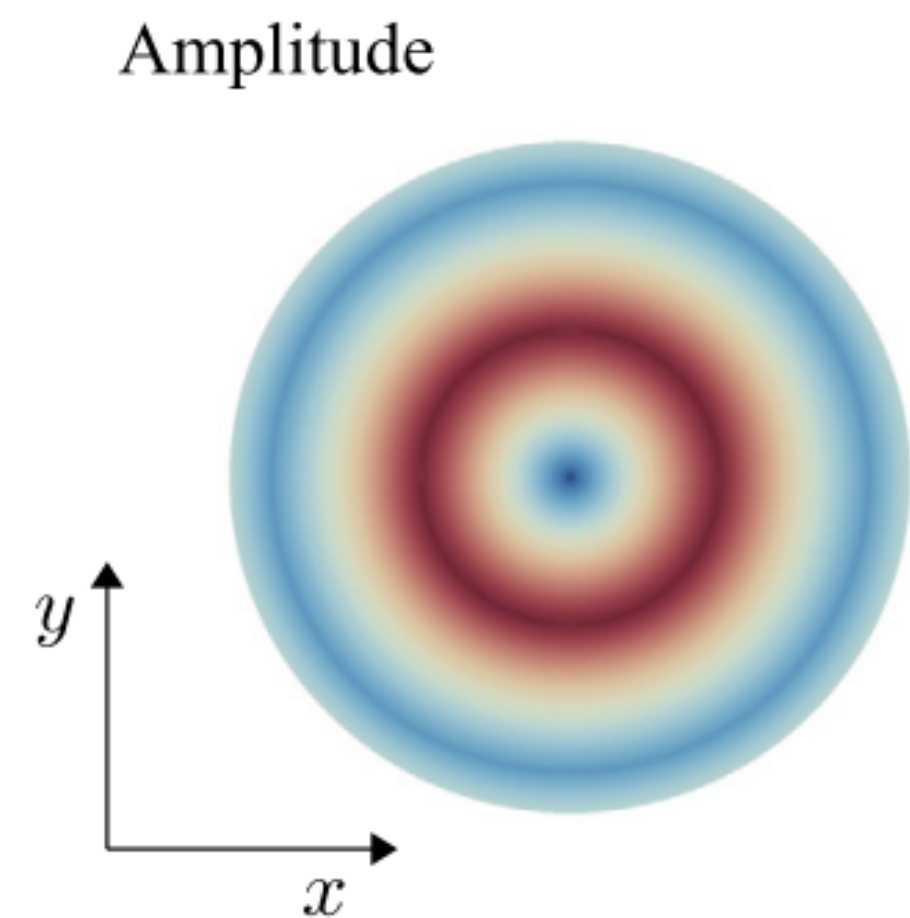
Scattering of dipole



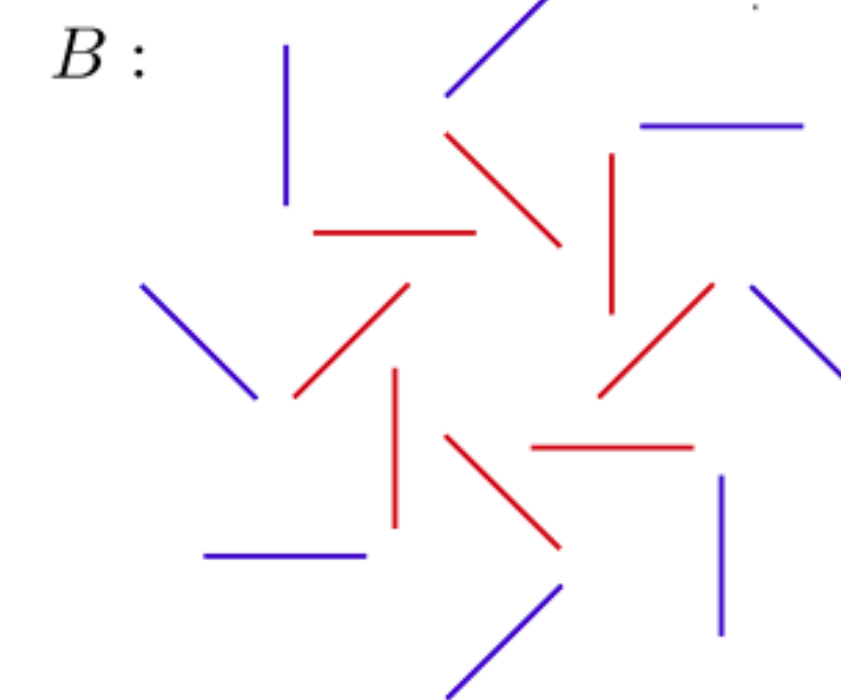
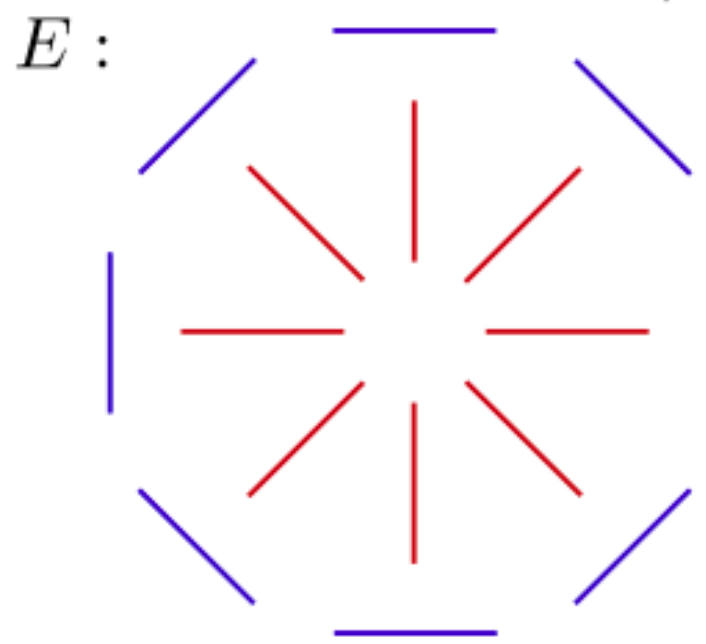
Scattering of quadrupole



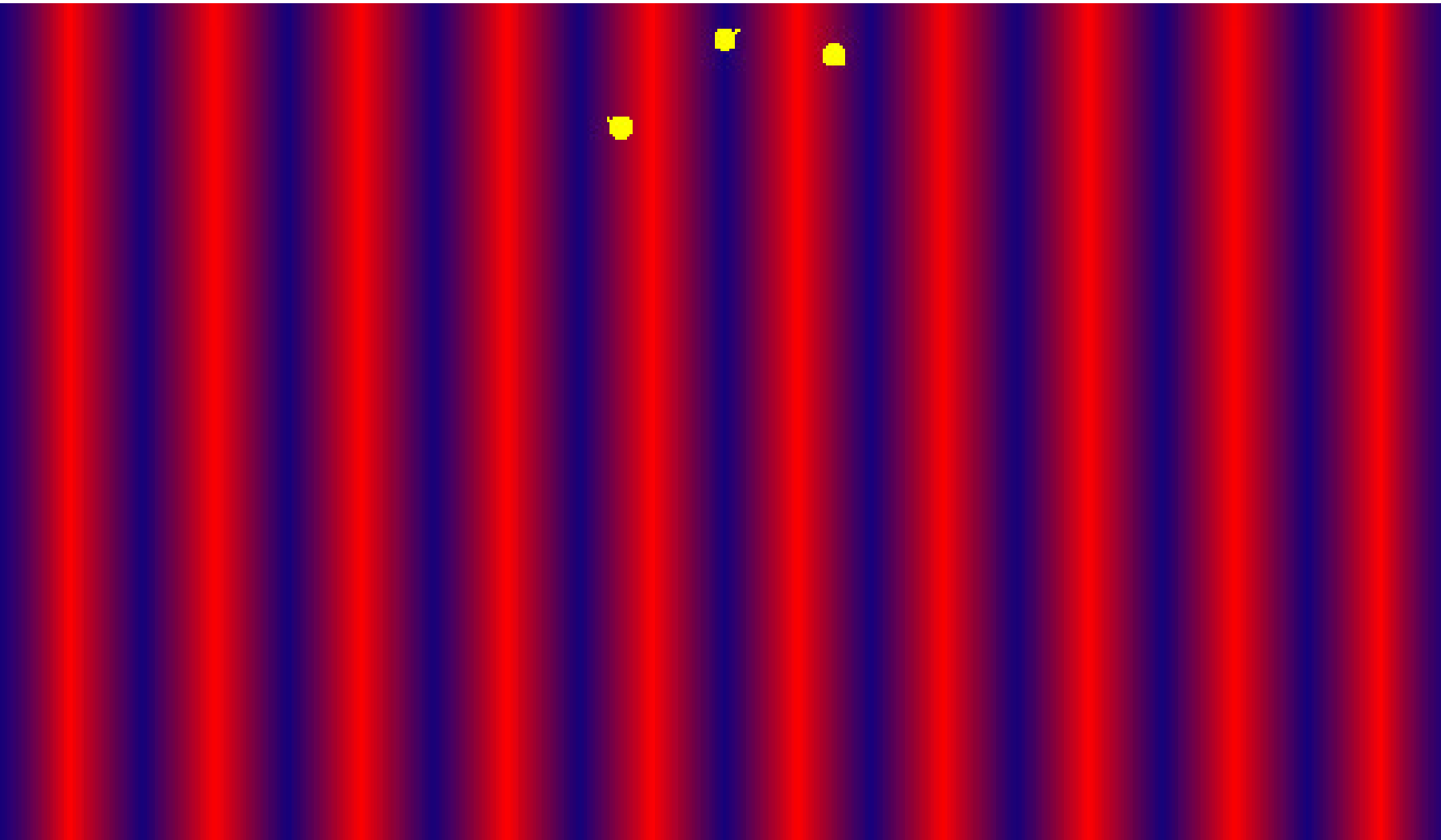
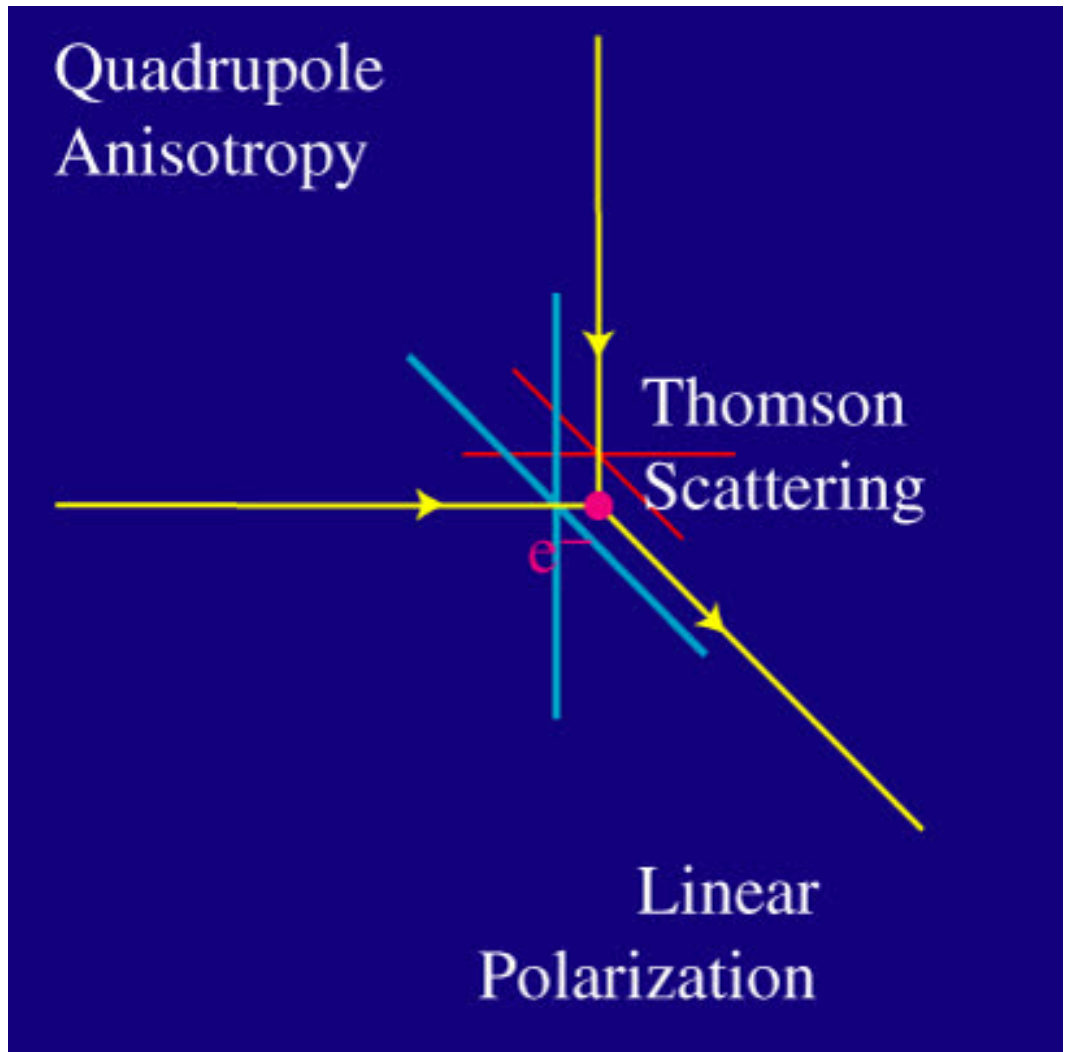
Polarização



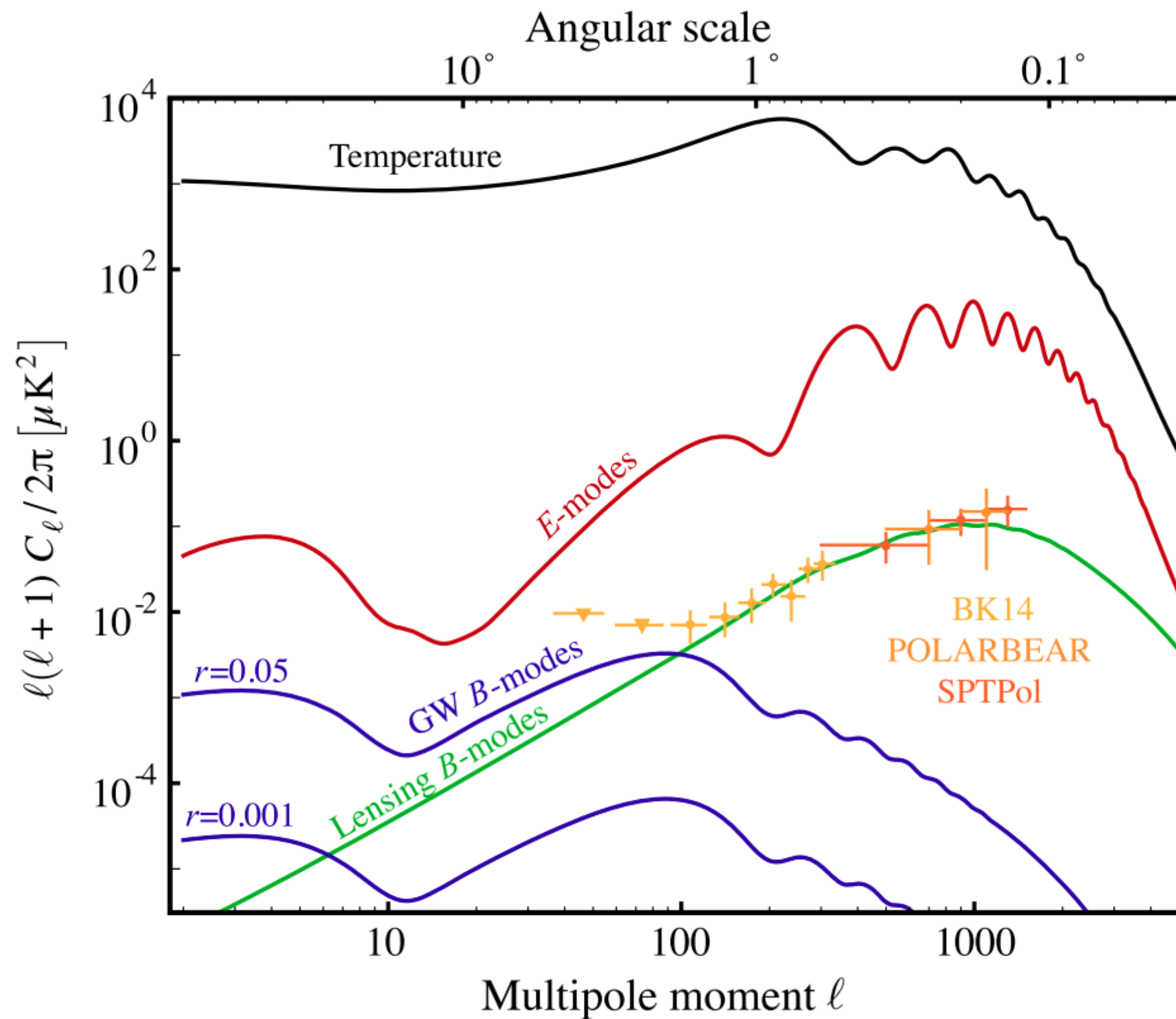
Polarization pattern



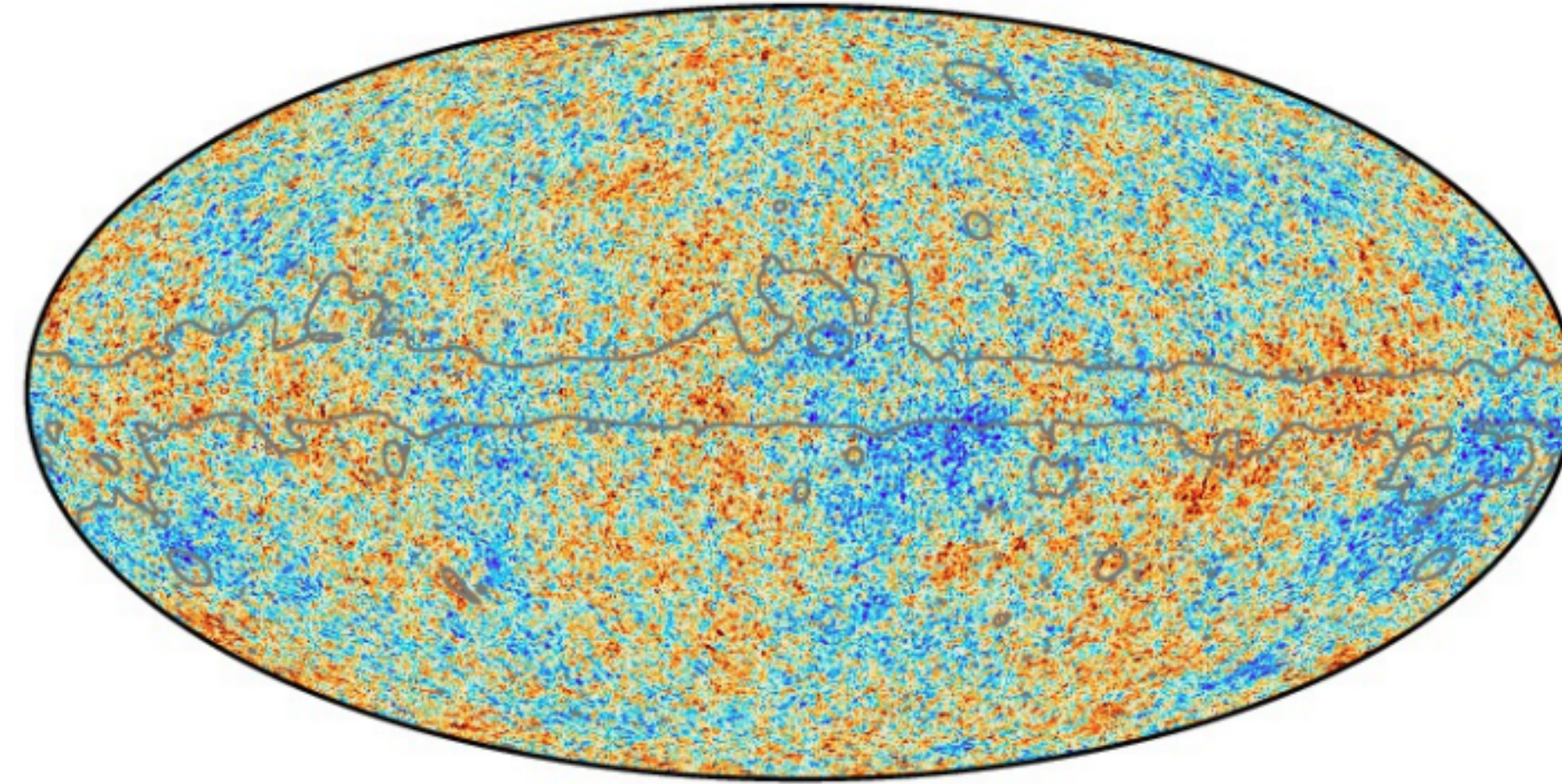
Polarização



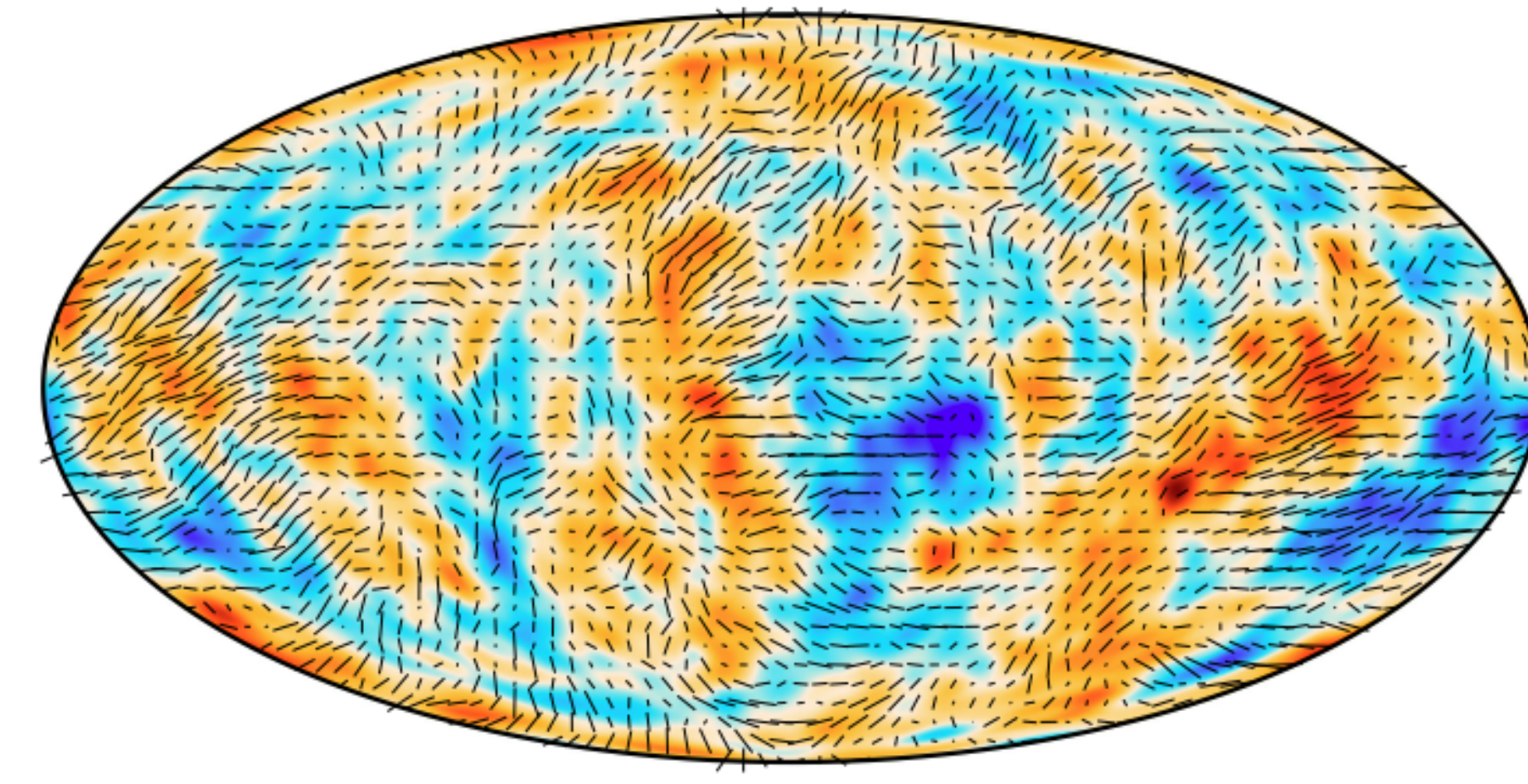
Polarização



Efeitos do espalhamento Compton na CMB



-300 μK 300 μK



-160 μK 160 μK



Conclusão

- Conseguimos reproduzir o espalhamento Compton clássico usando as ferramentas da QFT;
- Esse processo físico se mostrou essência para entender a física do universo primordial e a formação da radiação cósmica de fundo, sendo suas principais assinaturas a escala de oscilações acústicas bariônicas (BAO), a dominância de E-modes no power spectrum e o damping devido à reionização (espalhamento Compton inverso).



Referências

- [1] **An Introduction to Quantum Field Theory.** M. Peskin, and D. Schroeder. Westview Press (1995);
- [2] **Quantum Field Theory and the Standard Model.** M.D. Schwartz. Cambridge University Press (2014);
- [3] **Lecture Notes - Quantum Field Theory I.** R. D. Matheus;
- [4] **Modern Cosmology - 2nd edition.** S. Dodelson and F. Schmidt. Elsevier Press, Cambridge (2020);
- [5] **Cosmology.** Baumann, D. Cambridge University Press (2022);
- [6] Planck Collaboration; N. Aghanim, Y. Akrami, F. Arroja, M. Ashdown, et al. **Planck 2018 results: I. Overview and the cosmological legacy of Planck.** Astronomy & Astrophysics, vol. 641 (2020).
[doi:10.1051/0004-6361/201833880](https://doi.org/10.1051/0004-6361/201833880);
- [7] **Wayne Hu's Tutorials**, <https://background.uchicago.edu/~whu/intermediate/summary.html>.
Acesso em 06/12/2025;
- [8] **Physics of the Cosmic Microwave Background.** Emmanuel Schaan (SLAC National Accelerator Laboratory, USA) - V Joint ICTP-Trieste/ICTP-SAIFR School on Cosmology.

Referências

- [9] **The Klein–Nishina formula**, <https://scipython.com/blog/the-klein-nishina-formula/>. Acesso em 10/12/2025.